

Primate primitivo.

E. Rodio - Eriaco - Tapridae.

E. Rodio loriforme - Lemniforme.

- Caudales de ~~loris~~ ^{Loris + chirovale} - anillo timpánico de loris

Dactiliformis - Tipo roedor, con uñas.

Lemniformis - C. insatisfaca adriacola

Indusalis - e

+ Anterlemano

Pleuroscapides - Tipo roedor, fitófago

+ Notharctidos

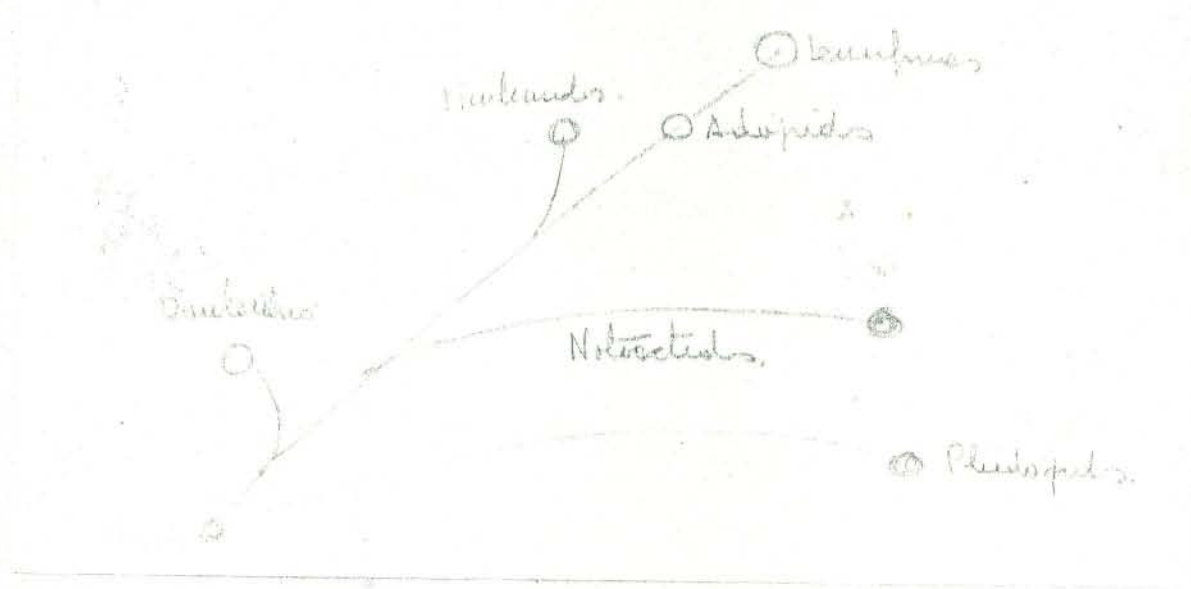
+ Adapidos

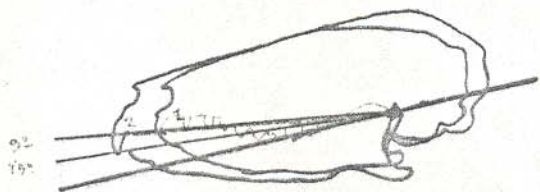
+ Neoclemmidos

+ Pseudoclemmidos

serie monodactilo Tapridae - Lemniformis - Pseudopide (p. 48) - Eriaco sup. Eriaco y Lemniformis. En Platycheirus se hacen pudes y fitófago sin uñas. Adriacola tipo roedor, molandito, desprovisto de escudo scutido, fitófago. - Eriaco sup. - Monolemniforme. Pseudohypocno. Protomyletus - Bantouense - Eute Lemniformis y Tapridae. Adapis - Tendencia a molandito, de Lemniformis - También molandito lede. - Oxyphloeoceros.

Manan verticalis (p. 63) - (Linné p. 69.





Natural. β m²

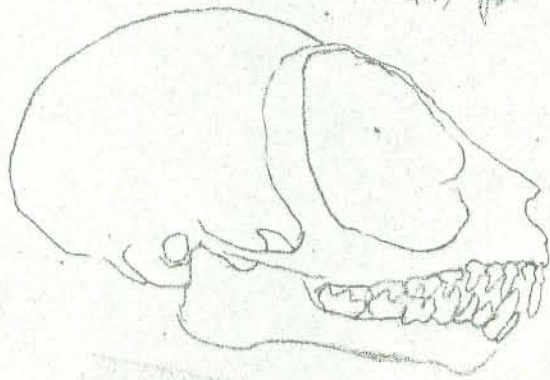
- 1 - *Tupia belangeri*, (Cabr. 1925).
- 2 - *Tupia glis ferruginea* (Cabrera 1925)

Tupaiidae

Solo vito Cabrera 1925 - Tricena β m² negativo, si se consideran los incisivos.
(VER CANINOS), arborícolas & insectívoros. (Ver Saunders).

(x2)

Tamias pictus (sp. 7) μ -



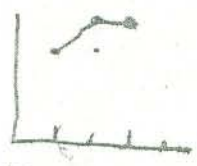
HAPLORHINI

Taxioidea. Sulbardu.

F. taxioidea	G. Taurus	T. syrichta	12'6 max	91	98	PESO 119 gr.
		T. bancanus	16 max	39	27	
		T. spectrum	16 max	38	35	

maxima.
Oscip. ~~max~~
Kasal.

Elliot. I-II x 2.



centrograma.

T. spectrum - $\beta-5^\circ$ - (en hueso entre arpidos M^2 y punta incisivos, con caninos $\beta-7$). (Elliot, S.P. II) de T. taurus). Lo mismo en fig. 23 de Osborn Hill, apari-
mentos.

- Alimentum - En taurus hps pusculo incisivo.

MODIFICACIONES - Utaten mayor M^3 - Segun el relativo $\beta-7^b$
en incisivos β y $\beta-11$ caninos.

Dentium - Trigono puntito en M^2 sup.

BUEN EJEMPLO DIBUSO RED. TEMP, para cañes abultado,
(ver O.H. II:102 rola incisivo J. Ell. I-P. II foto)

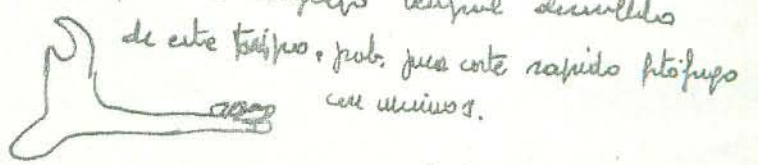
Motilidad - Saltos atlas rana de alcohol en alcohol.

Conicidad - Todos incisivos J de del del viper estructural.

Filipens - O.H. con hueso de pre los Taxioidea evolucian
una apex de pool generalizado del en el suprimen no solo los moder-
nos Taxios hizo ta tambien plata radiantes que columna en el lengu-
nido, Corinoides y los tipos de puntas superiores. Solo los Taxios
mandamos entre todos ellos retienen un nucleo de primitive
hall-marks hereditarios del stock Esceo" (O.H. II:108),
los 2 cañes que reproduce (quia los cañes bien amados) son:

Tetorius homunculus (fig.) con PM^3 de un quede, clara predominio
del complejo muscular y $\beta-1^\circ$ del $\beta PM^3 + 2^\circ$. Caninos de apto
medor. Otro caracter es el cluido J del alternativo J amulos
nucleo del cañes acuerdo.

Neolemur antiquus $\beta-$ y hizo hoy de complejo temporal desarrolla
Andaluba requiere decuprim

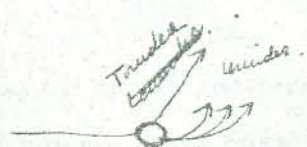
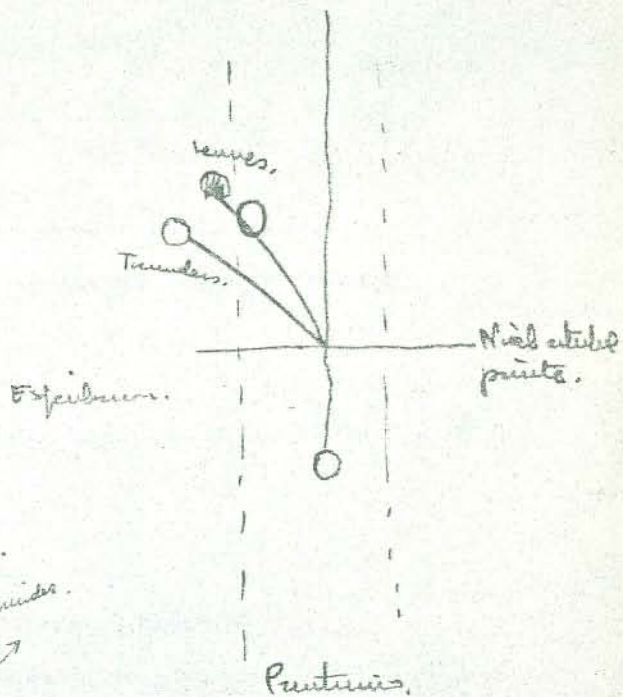
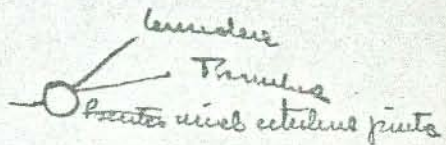


NOTOCAR - Si cañes para desarrollar en ellos el efecto de la liberacion
del cañes por resorcion del en el temporal

1. - Números de los artículos grupos de trimetas y más evidentes proporcionalmente
 antepunto de los miembros del que se separa en lo siguiente:

Tarsales.

se consideran



TARSIOS.

Primitivos -

Tarsiformes. - (Tarsius spectrum).

- El único se ve en la disposición de antepuntos pero el hueso más grueso parte de la cavidad orbitaria, como en los simios.
- Ver cavidades etc. (p. 104). - cavidad interna ± leucostoma, pero la "arteria paraventricular" es una reducción.
- escelos. (p. 105), primitivos, evolucionados, especializados. [¿se ve?]
- Tarsius - Preservados simples. M. testiculocelulares }
 Reducción de estructura por falta de (visión) p. 109
 Más primitivos que los leucostomas.

Tarsos - como polvos. Evolución tabeas alargadas (p. 108).

Subfams. -

- a - Omomyiinae - tipo generalizado de dentición, con molares con incisivos. - Eozoa americano.
- b - Anaptomorphinae - tataros y anaptomorphus y Absarokius. Tds. eozoa americano. - Especialización reducida incisivos.
- c - Pseudoleiomyiinae - Eozoa? cuerpo (falta de hueso) se ve un tipo Tarsius primitivo.

los leucostomas, que los primitivos no parecen a la estructura primitiva. (p. 106).

CENOGRAMA LORISIDAE Y GALAGIDAE.

Relevés cenográficos.

En este apartado estudiaremos la situación de las comunidades, su posición ecológica dentro de las zonas, y los factores limitantes.

A - La posición de loriscos y galagias en la comunidad puede estudiarse con relación a la comunidad forestal del Cauca (Fig.) y la de sabana del Tuluá (Fig.).

En el Cauca, son típicos fúngulos adnicolas, de la línea insectívora. Los insectos insectívoros que sobreviven los 15 cm. son voladores (Chiroptera), bilobados (Pholidota), amantinos (Potamoipala) y los loriscos y galagias, ~~que~~ Estos ascienden abruptamente para comunicarse con los monos, revelando que están casi libres de predación.

En el Tuluá, (Fig.). ~~Galago alleni~~ en los insectos insectívoros que exceden los 15 cm. son Atelax adansonii, protegido por pinchos (VER BIEN), ~~y Galago alleni~~ que vive en el material (Jeannin, 1936), Mantis (bilobado) y Orycteropus. Este grupo vive en plena banda de Pithecia Percebe.

B - El tamaño de los loriscos y galagias (Fig.) está muy ligado de vivir en la zona de descenso a tierra. Los pinchos son sus subgrupos raspos que los ayudan y se obtiene

a - Galagidae - tamaño menor. locomoción a saltos.

b - Loriscidae - " mayor. locomoción por presión deliberada de las ramas, que no necesitan para saltar.

C - Alimentación.

Todos ellos son insectívoros puros, como antes dije a los pequeños Tamaris (Fig. ~~(VER BIEN)~~ Ver otros trabajos

LORISIDAE Y GALAGIDAE.

Los valores de βM^2-C se mantienen alrededor de 0, con valores negativos de $2^{\circ}5$ en G. alleui y positivos de $3^{\circ}5$ en Nycticebus coucang. La forma del cráneo no varía mucho, estando comprendidos ambos complejos morfoevolutivos y temporal. Pese al crecimiento longitudinal del cráneo ~~de base~~ ^{de base} ~~probablemente~~ al crecer notablemente menor al aumentar la talla de los animales, lo que ~~se manifiesta~~ indica un aumento de la potencia ~~muscular~~ del complejo invertebral, que puede compararse en la forma de los mandíbulas, comparando los dos de las figuras.

La primera de las cuales representa una forma pequeña (Galagoides alleui, long. total del cráneo 42 mm) y la segunda una grande (Ooctolobus calabarensis, long. T. del cráneo 58'6 mm). Este aumento invertebral se traduce en un ensanchamiento general de la calera.

En todo el grupo M^1 y M^2 son subiguales y los más grandes, guardando pues una línea primitiva de Resistencia Molar.

- Los lorisidos y galagidos son pues un grupo probóntico totalmente, que escapó a la predación por adherencia.
- Su límite superior ^{de talla} ~~superior~~ determinado por la alimentación vegetativa.
- Este límite superior de talla está muy lejos del umbral de desarrollo a tierra, aunque en los más grandes (lorisidos) se observa una reducción en un parte energética, reunidos prob. de los pequeños una solida por se talla vegetativa crítica es un metabolismo lento.

El grupo galagidos, en las comunidades de mayor presión de predación, es más activo y capaz de escapar.

Lorisoidae.

Familia ~~Lorisoidae~~

Seguimos la descripción de Osman Hill (1953) que distingue de *Ptilis*. Los tallos han sido obtenidos de Osman Hill y Ride (1937) y los cánceros (long. máxima) de O.H.

Foto Elliot.

$\beta + 3^{\circ}$	<i>Loris tardigradus</i>	26	55	12 ozas
$\beta + 3^{\circ 5}$	<i>Nycticebus coucang</i>		58'9	1 libra
$\beta 0^{\circ}$	<i>Autocelus calabarensis</i>	40 ⁽¹⁾	58'6	
$\beta + 2^{\circ 5}$	<i>Pseudicticus potto</i>	39-50 ⁽¹⁾	68	

Prde O.H. Elliot.
 x2 $\times 1\frac{1}{2}$
 x2 $\times 1\frac{1}{2}$
~~x2~~
 x1+x x2 $\times 1\frac{1}{2}$
 x1 $\times 1\frac{1}{2}$ x1

Galagidae

$\beta + 2^{\circ 5}$	<i>Galago crassicaudatus</i>	39 ⁽¹⁾	82'5	
	" <i>senegalensis</i>	21 ⁽¹⁾	68	♀ 130 gr.
$\beta - 2^{\circ 5}$	<i>alleni</i>	21'6	92 ⁽¹⁾	
$\beta + 1^{\circ}$	<i>Eotricus elegantulus</i>	23'5	49'3	
	<i>inustus</i>		43'7	
$\beta - 1^{\circ 5}$	<i>Galagoides demidovii</i>	16 ⁽¹⁾	42	

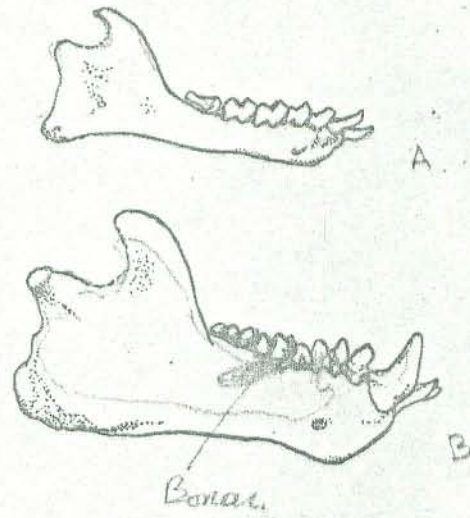
x1 $\times 1\frac{1}{2}$ x1
 $\times 2$
 $\times 1\frac{1}{2}$
 $\times 1 - \times 3 - \times 2$

- 3 1 = *L. tardigradus*
- 6 2 = *Nycticebus*
- 5 3 = *Autocelus*
- 4 4 = *G. alleni*
- 2 5 = *E. elegantulus* (juv. juv.)
- 1 6 = *G. crassicaudatus* (Elliot + O.H.)
- 8 7 = *Pseudicticus* (" + ")
- 1 9 = *Galagoides demidovii*

FIG en Tinta china

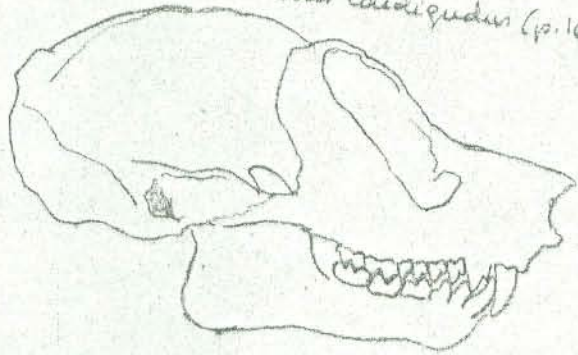
- Fig. — *Galagoides demidovii*
 2 *Eotricus elegantulus*
 3 *Loris tardigradus*
 4 ~~*Autocelus calabarensis*~~ *Galago alleni*
 5 *Autocelus calabarensis*
 6 *Nycticebus coucang*
 7 *Galago crassicaudatus*
 9 *Pseudicticus potto*.

Tallos $\times 1\frac{1}{2}$, Montando la el aumento con el objetivo de tallos al mantenerse βm^2 con constante (cutis - $2^{\circ 5}$, + 3°)

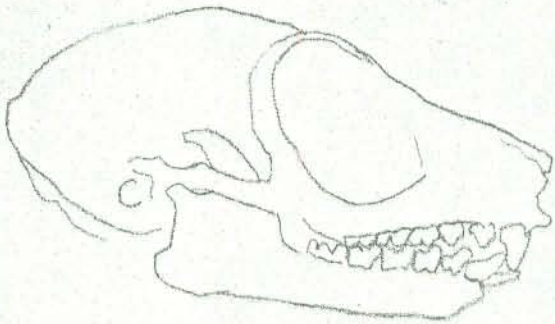


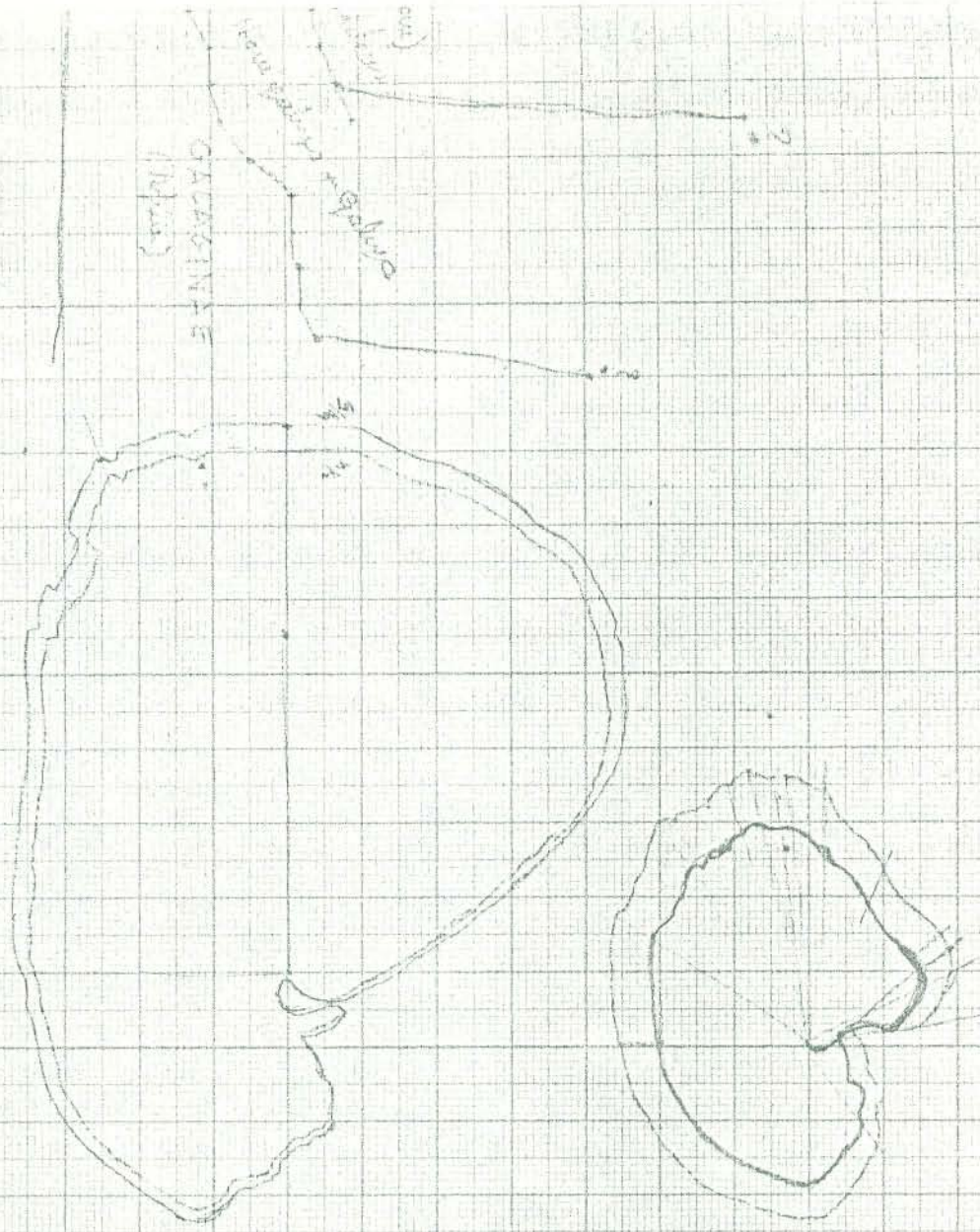
- A. *Galatgoides demidowii* x 2
B. *Nycticeilus calabarensis* x 1 1/2.

(1/2) *Lousi taedigudus* (p. 16)



Yatusp alleni (p. 63) (1/2)





Géographie des Lemnides

Pour cette classe les Lemnides malpighiens ou tresse ^{actuels} par ils n'ont pas dépassé les ^{limites actuelles} ~~étages~~
 Avec les données de Osman Hill (19) j'ai fait les cartes comparées des tailles de
 groupes qui a été récemment étudié par J.J. Peltier (1963). Bien évidemment avec l'unité
 de taille et univoque, ayant développé 2 types de locomotion.

a) chez un groupe, ont trouvé une marche parabolique univoque, avec le corps
 horizontal, qui permet une course frêle par les branches et tiges horizontales.
~~Elle a été développée par ces~~ On en trouve dans les petites espèces (Chevies
 (Micnelus, Cheviogale) qui sautent par des sauts saccadés comme un sautier,
 et leur de groupes des Lemnidae Lemur, Phouer, Kapalemur, et Lemur, avec
 bien que des Dauboutouis). ~~Et~~ L'augmentation du poids limite la
 mobilité des les espèces et alors que les petites Micnelus vivent sur
 les branches fines, les moyens et grands vivent aux grosses branches
 et au tronc (Peltier, 1963, p. 123 et 131). Les grands espèces sont les plus
 tenaces des Lemnides, et L. catha et L. marcus (40 à 45 cm)
 descendent pour ramper à terre, quoique verticaux ou fruit. Ils ne
 dépassent pas 50 cm. de Varecia (Varecia) variegata
 au dessus d'une taille de

b) au dessus d'une taille de 30 cm. nous trouvons un type de locomotion
 très déjà connue chez Phouer (25 cm) et qui permet l'union à
 tailles très grandes tout en restant justement adhérente (Ludri 70 cm)
 c'est toute à fait égal aux Lemnides au corps vertical. Il consiste
 dans une locomotion à sauts d'une branche au tronc vertical ou
 un autre, à ~~sautes~~ et saut saccadé de distance de 10 cm. et plus
 (Propithecus), et seule être plus favorable dans les trois derniers
 ans précédentes de tiges. Elle est développée chez Lepilemur
 espèces Poliphages (Lepilemur, Propithecus) Arualis, Ludri) qui sont
 capables de faire un saut de plus de 100 cm. pour s'être obligés à
 descendre à terre, (Propithecus) ~~et~~, ou ils marchent en position bipè-
 de et à sauts. (Propithecus).

S.O. Lemnoidae.

F. cauletoniidae. - cauletonia. β^0 (S)

F. Tarsiidae - Tarnis β^- (S)

F. Nyctiiniidae.

SF. Lasiinae - Lasi. { β^+ - L. tridigitus } (S)
 { β^- - L. ~~lyderkerianus~~. } β^+ neutro

Nycticelus - β^+
 acuticellus - β^+
 Pseudicellus - β^+ } β^+ β^+

SF. Galapini - Galap. { β^+ - cranicornatus, dequintellus } β^+ neutro (S)
 { β^- - alleni }

SF. Lemninae - Hemipolys β^-
 chirofolle β^+
 Microcelus β^- (pur?) (S)
 Mixocelus β^- (S)
 altitellus β^+
 ispedellus β^+ neutro.
 Microcelus β^- ~~?~~
 Lemn β^- (S)

SF. Indusidae
 viduatus. - β^- (S)
 Propitellus - β^- (S)
 Indus - β^- (S)

Epineurium coccineum & leucum

los machos, solo piel, no son válidos (Introducción Elliott) por lo que
es necesario indicarlos. Falta muchos spp.

875
4

- A *Dacnusa* - 900
- B *T. saltator* - 153
- T. bancanus* - 120
- l. pedicularis* - 180
- Nycticebus bancanus* - 303
- M. *N. bancanus* - 927
- N. caucasicus* - 370
- N. uatimae* - 305
- N. uatimae* - 312
- N. pygmaeus* - 305
- Arctocobus aureus* - 262
- Pelodicticus ju-ju* - 355
- P. beatus* - 339
- P. parvulus* - 280
- P. edwardsi* - 340

- allilobum modestus* - 191
- thorax* - 210
- lepidobum leucopus* - 285
- ruficaudatus* - 280
- edwardsi* - 380
- Myoxiochus pusillus* - 375
- oleum* - 175
- leum unicolor* - 956
- iniquum* - 406
- fulvus* - 340
- modestus* - 309
- rufus* - 457

leucostictus laevis - (pequeño)
Propithecus venosus - 450
leucus rufus - [debe ser el 500.]

- Galago craniocaudatus* - 325
- G. rufus* - 250
- G. parvulus* - 347
- G. griseus* - 325
- M. *G. modestus* - 210
- G. laevis* - 315
- G. hildebrandi* - 295
- Kirgizianus* - 310
- albus* - 210
- gularis* - 165
- griseus* - 158
- occidentalis* - 170
- leucus galago ducardoffi* - 143
- leucus galago* - 140
- thorax* - 140

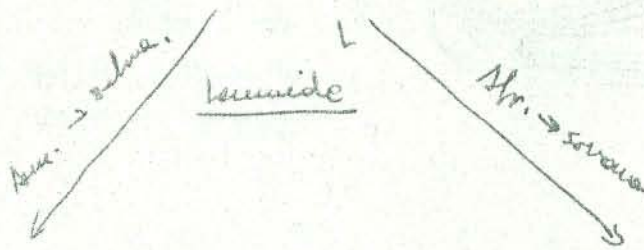
- A - los leucos de Madagascar no muestran señal de predación, en su cuerpo.
- B - los tauris se mantienen pequeños
- C - los *Nycticebus* parecen de talla mayor y tienen piel de infamación?
- D - *Galagos*, talla grande y más, a veces predados furtivos.

Resumen - Ver, en relación a su área, los similitudes de susleas, Es de color oscuro defensivo en galago y leucos.

- A *Chiroptera major* - 331
- melanota* - 265
- trichotis* - 146
- Micropodops murinus* - 150
- myotis* - 150
- coronatus* - 247
- pusillus* - 250
- Micropodops caniceps* - 300

- a - Estudios leucos a escala, más modestos no defensivos.
- b - .. galaginos por adapt. defensiva.

Insectivora junctus.
(Tropididae.)



Opus de curio defemin

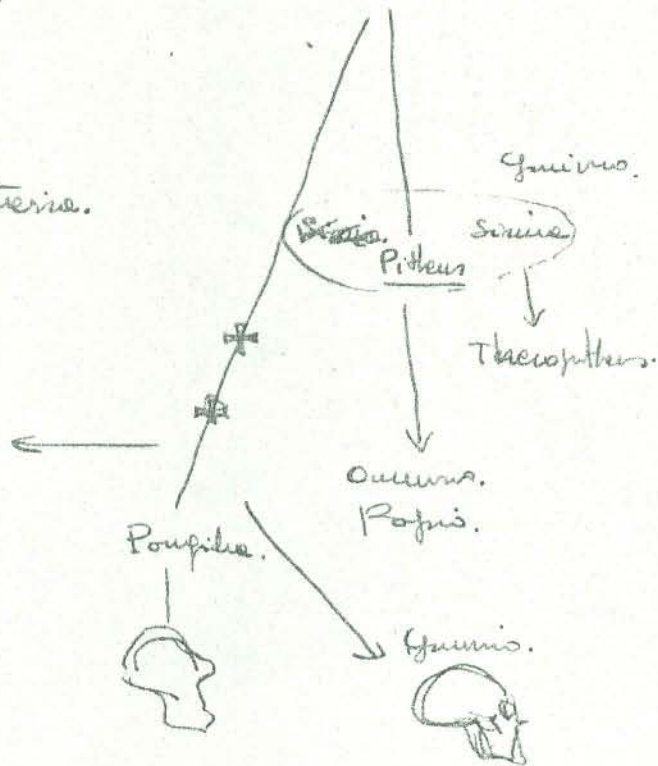
Cebus.

lascopipe.
Cebus

lascopipe

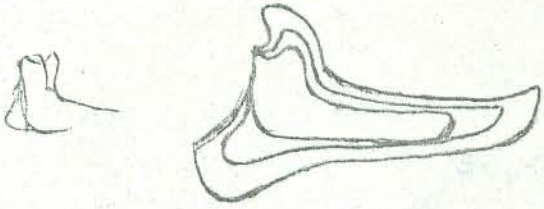
Descenso a tierra.

Adultos.
Hylobates



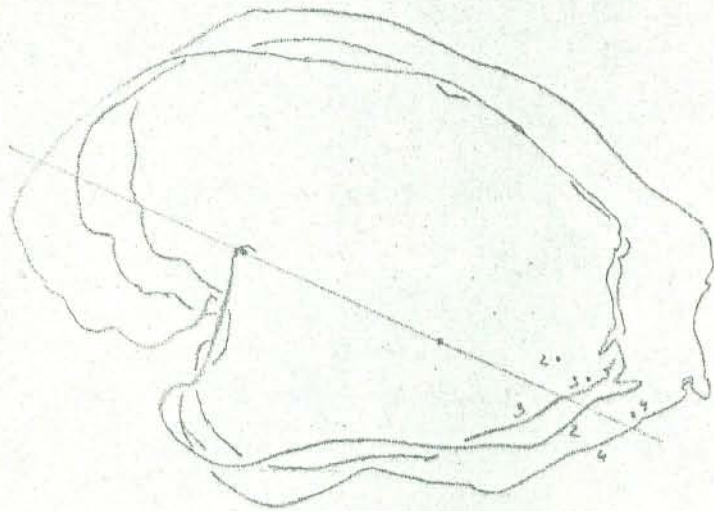
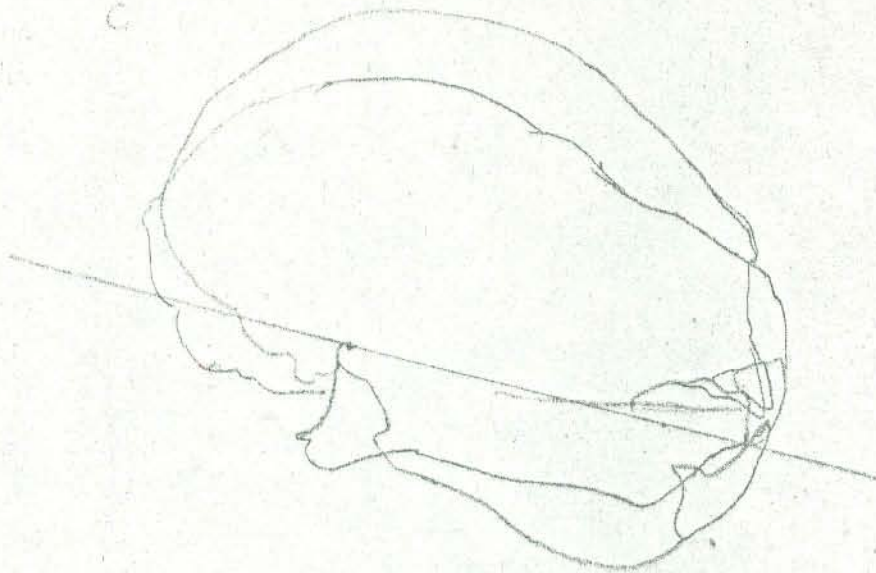
En Miopliticus (7 juvs. gral.)
el borde del mesencefalo temporal al
alado de la sagital. El cerebro
es ancho y abombado. El desarrollo
del C. Temporal. Lo ilustra.

u. lenticularis etc.



2) Day un aumento con tinte, por reflejo
necesidad aumento multibular sin cambio
en superficie curvatura?

C



3390
 3740
 410
 45

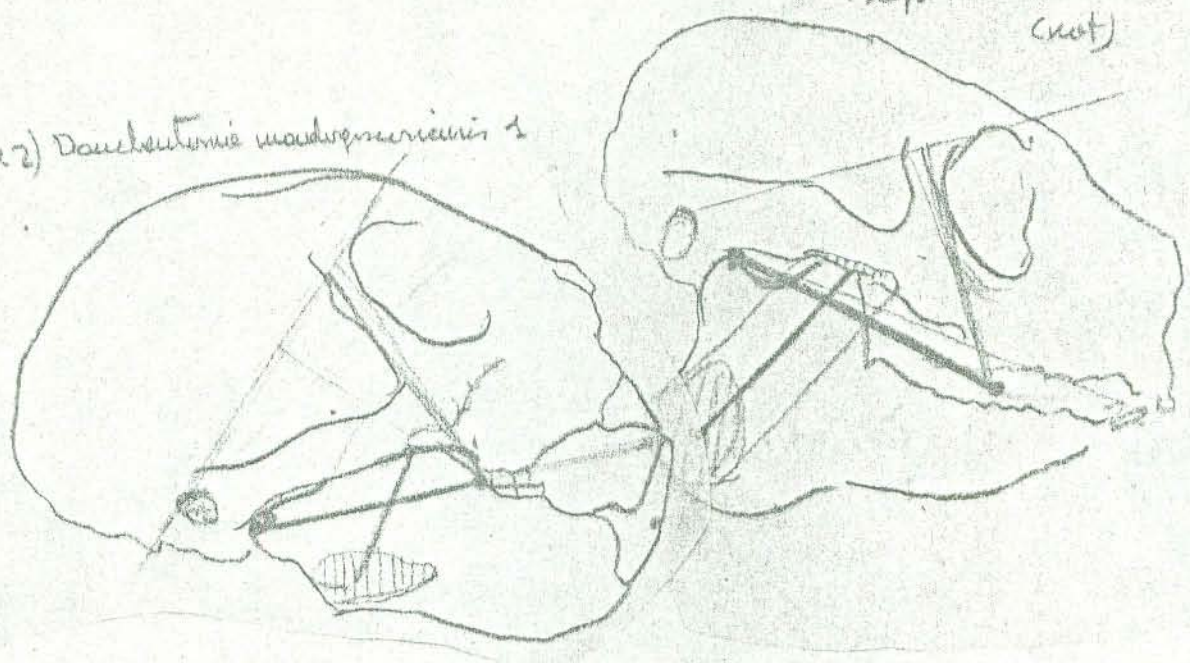
Indicaciones -

Walter indica que la línea usual con β neutro (hip. ---) se encuentra más de todo, pero ~~no~~ ~~está~~ ~~siempre~~. (1)
 loco. ~~Propithecus diadematus~~ Lichosteus crügeri + Propithecus diadematus han exhibido descollado fuerte complejo sintético, con β -, (β \ominus) que conduce a un asentamiento global del núcleo, ^(hip.) ~~circundamiento~~ del núcleo, del núcleo lejano que varía más en los casos anteriores. ~~hip. ---~~ esto es probablemente debido a una distribución filigrana.

(1). Ambos complejos están bien equilibrados.

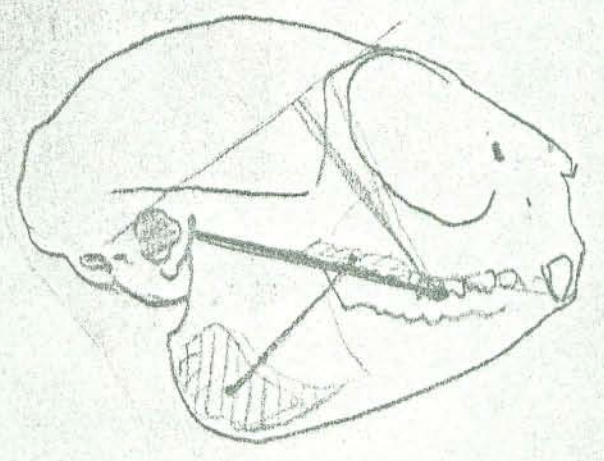
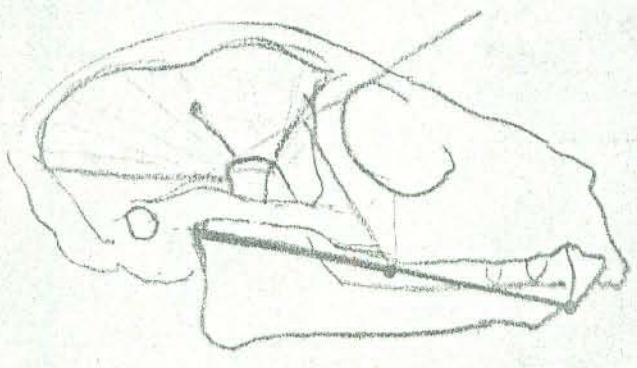
Propithecus dudleyi, 166
(not)

(x2) *Dacryctonus madagascariensis* 1



Lichanotus Louiper 163 (1/2)

Lichanotus p. 130 (not)



Cefalopos ESQUEMA,

A finis.

~~A~~ B. ~~Forma mediana (forma conoidea)~~ descrita por conoidea dentada por

a - En cima conoidea

b - Inga es conoidea conida hongo (Conoidea)

c - Potos piteusis cuerpo f grandes ovis.

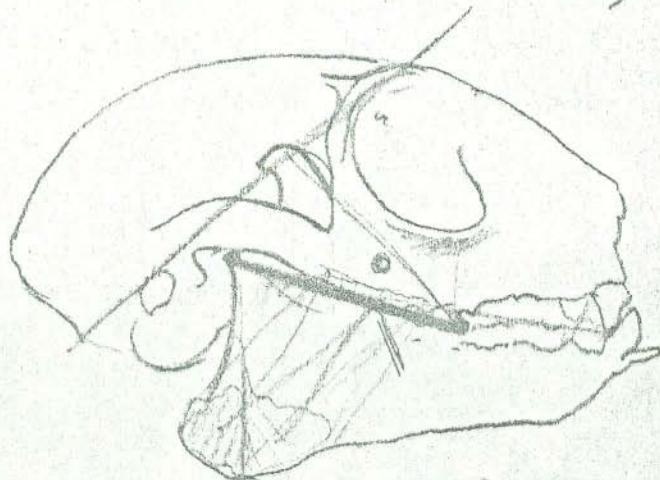
d - los podes (al nervo G. craniocaudales) tienen $1/2 +$.

A - Alimentum.

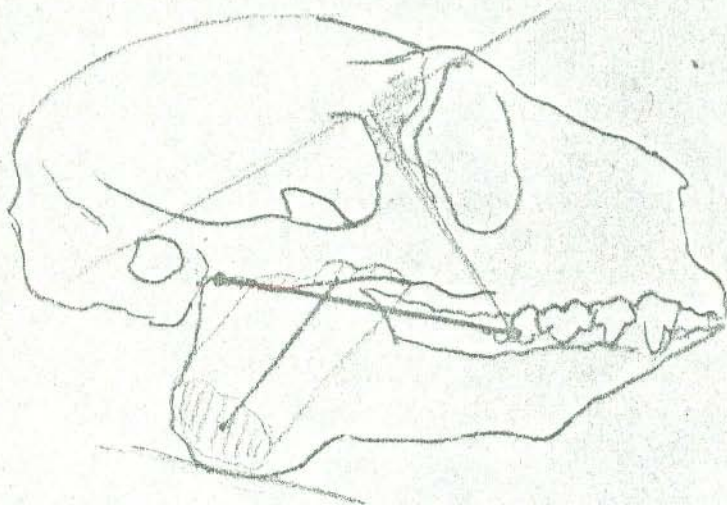
Heterocephalus, pterois, poble, insecto (PM² con una caudale nervo pue
Cefalopos).

Cefalopos - Subtenuis nisi deus, (PM² caudale nisi en tolvir)

Myoxicephalus sinensis, 124 (nat.)



Indis viduis 175 (nat.?)



T. gracilis ? *T. pulchellus* var. *indulgentus*.

- Cebrella pygmaea*
- Hoplitis albicollis*
- H. leucosphala*
- H. humeralifera*
- H. sautariae*
- H. fasciata*
- Callinico gouldii*
- Tamiascus nigricollis*
- T. sp. weddellii*
- T. sp. illigesi*
- H. pusillata*
- H. chrysoleucus*
- Oediponides oedipus*
- Maurinus maurini*
- T. sp. ulanoleucus*
- In. inustus*
- In. tauanus*
- H. flaviceps*
- H. sp. argenteus*
- Oedip. sp. sp.*
- H. aurata*
- H. petronius*
- Leptochelus scabellus*
- T. sp. fuscolis*
- T. sp. tripunctatus*
- T. sp. nivalis*
- T. sp. labialis*
- Leptochelus chrysocephalus*
- T. sp. leucopus*
- T. sp. cupreus*
- T. sp. argenteus*
- T. sp. pluto*
- Maurinus bicolor*
- Leptochelus chrysocephalus*

Hapalidae

Oediponides var. *sp. sautariae*

Tamaris de Jimis aeneus sequi Elliot.

650
380
270

- Samiocebus bicolor ~ 210 (per mil)
- S. mectanonus. ~~650~~ 400 = 260
- S. mantusi. 208
- Leucopithecus noides - alrededor de 270 ("similar a S. bicolor")
- .. rufissimus - .. 270 (" .. a E. noides)
- .. arvensis - .. 270 (" ")
- Leucotecebus labiatus - ~ 210 [divido uno]
- pileatus
- thomasi
- nigripes - 290
- nigricollis = - 210? ("similar fuscicollis")
- chrysophrys. - 210? (" .. nigricollis")
- mistax
- xaddeli - 190 (" .. senillii")
- senillii - 190
- apiculatus - 210? (" .. illipai")
- illipai - 210? (" .. labiatus")
- tripartitus ~ 260
- leptomis - 235.
- fuscicollis - 210? - (" .. labiatus")
- gracili
- imperator
- rosalis
- leominus
- chrysomelas - 370 (per mil).

415
205
210
620
330
290

530
440
970

570
380
190

475
275
210

- Oedipomidas oedipus -
- .. poffroyi -

533
297
235

Callithrix

- mutil sequi. cummudo trides
- Callithrix santaremensis - 190
- fucillata - 210
- .. pedana - 235
- fide jacchus - 205
- flaviceps - 148
- brevicephalis - 200
- callicollis - 198

494
296
198

546
298
248

<i>Callisichus</i>	<i>temperatus</i> - 325			
	<i>amictus</i> - 381			863
	<i>cupreus</i> - 610			482
	<i>paenulatus</i> - 330			381
	<i>Hoffmanni</i> - 375	950		
	<i>remulus</i> - 285	520		815
	<i>donacoptulus</i> - 330	330		440
	<i>emilius</i> - 320			375
	<i>pallens</i> - 365			705
	<i>ciliatus</i> - 400			420
	<i>virgatus</i> - 505			285
	<i>gigot</i> - 455			745
	<i>brunneus</i> - 375			415
				330
				865
				465
				400
				960
				455
				505
				915
				440
				325
				1145
				595
				0560
				6
				914
				469
				445
				1145
				625
				8520
				475
				270
				255
				880
				508
				372
				863
				406
				452
				391
				41
				350
				633
				363
				270
				640
				260
				380
				710
				370
				340
				1042
				372
				0675
				690
				350
				340
				412
				298
				114
<i>Alouatta</i>	<i>ululata</i> - 560			
	<i>villosa</i> - 650?? o 20-25??			
	<i>nealzebul</i> - 445			
	<i>palliata</i> - 552			
	<i>imulans</i> - 520			
	<i>puca</i> - 520			
	<i>lava</i> - 535			
<i>Pithecia</i>	<i>monachus</i> - 372			
	<i>capillimentane</i> - 255			
	<i>pithecia</i> - 350			
	<i>chrysocephala</i> - 330			
	<i>satanas</i> - 452			
	<i>chrysotus</i> - 410			
<i>Cacajao</i>	<i>calvus</i> + 2 sp. mis - [Quito - 400-450]			
<i>Saimiri</i>	<i>sciureus</i> - 306			
	<i>maderae</i> - 350			
	<i>oerstedii</i> - 270			
<i>Ates</i>	<i>uigniceps</i> - 340			
	<i>senex</i> - 320			
	<i>rufipes</i> - 418			
	<i>roberti</i> - 640			
	<i>boliviensis</i> - 320			
	<i>humis</i> - 340			
	<i>quincimembra</i> - 675			
	<i>trinigratus</i> - 275			
	<i>gularis</i> - 340			
	microdon <i>microdon</i> - 360			
	<i>spixi</i> - 114			

Elliot J. Ameno. (solo apr con medulas)

(3)

- Steleros cucullatus* - 323
- par - 320
- Bradytelos arachnoides* - 610
- Lagothrix uipumata* - 525
- Cebus capucinus* - 500
- albifrons - 556 (nat. neo)
- unicolor - 550
- caerulescens - 455
- variegatus - 435
- chrysopus - 427
- apiculatus - 459
- macrocephalus - 440
- venusta - 450
- aurae - 435
- caliginosus - 535
- vellosus - 400

1021
897
323

1120
1280
670
0610

1180
855
0525

7229
673
0556

828
343
435

980
525
455

860

910
460
450

833
406
918
459
459
1095
560
535

865
430
435

PLATYRRHINI.

(2) = average

Grupo B - HAPLORRHINI

Suborden II - PITHECOIDEA

Infraorden PLATYRRHINI

Superfamilia CEROIDEA

Fam. I. HAPALIDAE, $J \frac{2}{2} C \frac{1}{1} P \frac{3}{3} M \frac{2}{2} = 32$.

M^2 (*)

O H

Ellent

			O-N	M.L.			
Tamaris	Tamaris	230	47	47'8			
	nidas	262	50	48'5	♂ 907 w.	$\beta M^2 = 20$	$\times \frac{1}{2} (199)$
	inusta	23		50'8		$\beta M^1 = -20$	$\times 1 \frac{1}{2} (20)$
Tamarinus	niquicollis	22		47'4			
	weddelli	[~ 22]		43'1			
	fuscicollis	25		47	153		
	illigeri	22		47			
	tripartitus	26	45				
	mystax	30	50			$\beta M^1 + M^2 = 0$	$\times 1 \frac{1}{2} (28)$
	pluto	31		50		$\beta M^1 = +12$	
	graellsii			47'6			
	pileatus (quide)			49'2			
	labialis	28		49'2			
	imperator	30					
	melanoleucus	23		44'2			
leucopus		29'2		50'6	♂ 242	$\beta M^2 = 0$	$M^1 = 0$
Marrakina	bicolor	32'8		49'9			$\times 1 \frac{1}{2} (27)$
	martini	23'8 (2)		52'2 (2)		$\beta M^2 + M^1 = 0$	$\times 1 \frac{1}{2} (23)$
Oedipomidas	oedipus	23 (2)		51'5	♀ 337	$\beta M^1 + M^1 = 0$	$\times 1 \frac{1}{2} (26)$
	spiki	24'5		52'5	♀ 567		
Leontocelus	rosalia	25'2		53	♂ 552	$\beta M^1 = -40$	$\times 1 \frac{1}{2} (266)$
	chrysomelas	37				$\beta M^1 = -30$	$\times 1 \frac{1}{2} (25)$
chrysopterus	29		50		327		
	argutatus	224		44'6			
6 $\beta + 4.5$ Hapale	fuchsus	20'2		42	♀ 345		
	flaviceps	24'8		45'2			$\times 1 \frac{1}{2} (123)$
	chrysoleucus	23'5		45'3			
5	santaremensis	20		45'5 (0)			
	penicillata	23'5		43'6	♂ 225		
	aurita	25		47'5 (1)			
3	petronius	25					
	leucocephala	19'8					
4	humeralifer	[20'2] (1)					
	albicollis	19'8		42'2			
1	ebuelle	16		35		$\beta M^2 + 30 = \beta M^1 + 40$	$\times 1 \frac{1}{2} (306)$
	pygmaea	16		35			
Fam II - CALLITHICONIDAE	Callimico	16		35	278	$\beta M^1 + 10 =$	$\times 1 \frac{1}{2} (370)$
	goldiei	16		35			

(*) βM^2 no es ficial, porque M^3 ha desaparecido, siendo M^1 el mayor. Esto refleja una regresión del complejo morfológico que ocurre luego que pasan en relación con la regresión de tamaño y aumento de los i_1, i_2 en relación a C_1

(1) como Hap. fuchsus.

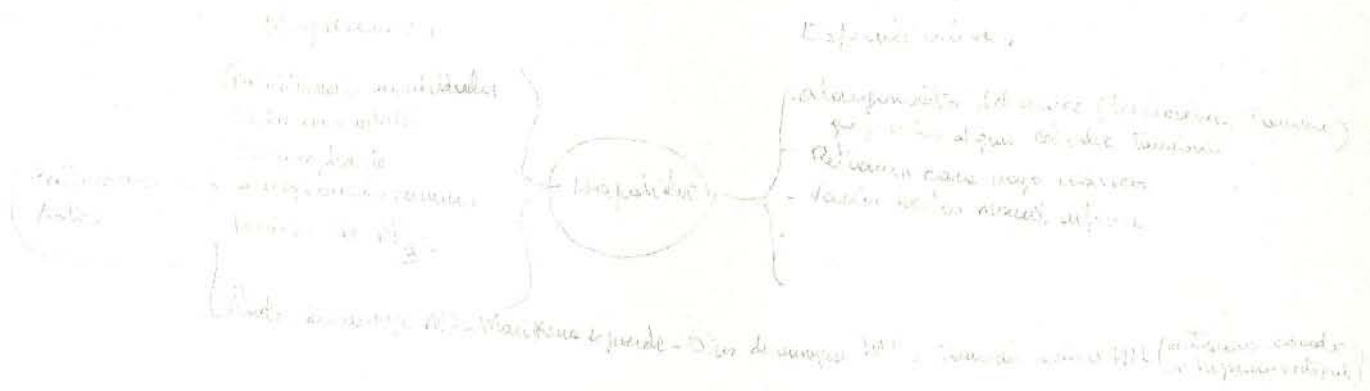
Haplodiplo.-

Quedan sujetos a los intersturnos:

- a - Collinaria es primitiva (36 dientes; 21.5 cm; β) y de hoy salen dos raras:
 - i - Haplodiplo, que pierde dientes (32) aumentando la resistencia molar (M^2 mínimo) y aumentando tamaño (16-37 cm) pequeño.
 - ii - Colidae, que con 36 dientes aumenta de tamaño.
- b - Colidae es primitiva, y antes su reducción degenerativa con collinaria, para aparecer monodiploarmente en Haplodiplo.

Otros por raras y aún, cual es la más probable.

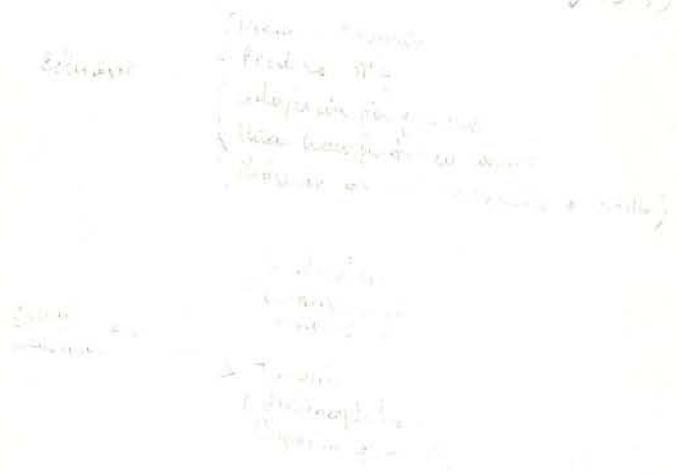
Yago (1922)



Quedan sujetos a los intersturnos:

- a - Collinaria es primitiva (36 dientes; 21.5 cm; β) y de hoy salen dos raras:
 - i - Haplodiplo, que pierde dientes (32) aumentando la resistencia molar (M^2 mínimo) y aumentando tamaño (16-37 cm) pequeño.
 - ii - Colidae, que con 36 dientes aumenta de tamaño.
- b - Colidae es primitiva, y antes su reducción degenerativa con collinaria, para aparecer monodiploarmente en Haplodiplo.

Pearce (1920) (1925)



Saunderi. (Pres. huko sa O. Will).

Semi-mono - Pulpa opurable - No cola prenil - = PITHECOIDES.

A - Aotinae (monos-bukos)

Aotus trinipatus -

Ph. Hershkovitz (Proc. U.S. Nat. Mus. Vol. 98, 1949)

B - Pitheciinae (sakivukis)

Pithecia pithecia

" monachus.

Cacajao calvus

" rubicundus

" melanocephalus

Chiropotes chiropotes

" satanas

"

C - Cebinae (monos-aidillas)

Saimiri sarae.

"

"

"

Insectivorus. NOC-
TURNOS. (Gutis,
mucos verdes, insectos
caracoles y rana
alucinada, huevos
miel.

Vegetales ad pre-
ces. ♂ canino de
lente a pulgada
apenas ademas
semi colicatos.
Frutas, huevos, semi-
los que sa etc. huf-
nos.

Espr adules. Mami
mientes deli berudes.

Insectivorus, sauprejis
etc. Vuis honores lupo
ris dunde silue
diciende f. kapijs
tiens 1^o huns de la
nutrime. cuando insecto
insectivorus aui desjunt-
ble en los humbrinos.

DESCENSO A TIERRA -

No x relucine solo con Tomuro

Saundersia - CEBOIDES.

(Ver. Philip Hershkovitz. Proc. U.S. Nat. Mus. Vol. 38, 1949 p. 268).

- A - Cebinae (Capucinus)
 - Cebus capucinus
 - " albifrons.
 - " apella
 - " nigritatus.

- B - Ateleinae (Ninus-aratus) → Gilmer. (1954)

- Ateles paniscus
- " fusciceps
- " belzebuth
- " geoffroyi
- "

Alm - nueces verdes, tambien hojas y frutos y insectos, caudales y ramitas azules.

- Brachyteles arachnoides
- Leptobrix

- "
- "
- "
- "
- "

Nueces y frutos deus Patentes y pueras etc etc pies a veces

- C - Alouattinae (Alouattines)

- Alouatta villosa
- " palliata
- " seniculus
- " belzebub
- " carayensis
- "

Comedores de hojas y frutos, muy poderosos. Se encuentran arboles deliberadamente, con manos y cola, y solo saltan a voluntad

Pas analizar la evolución cronológica de los puntos sucesivos, vamos a dividirlos en grupos por valores de β , en relación a Resistencia m².

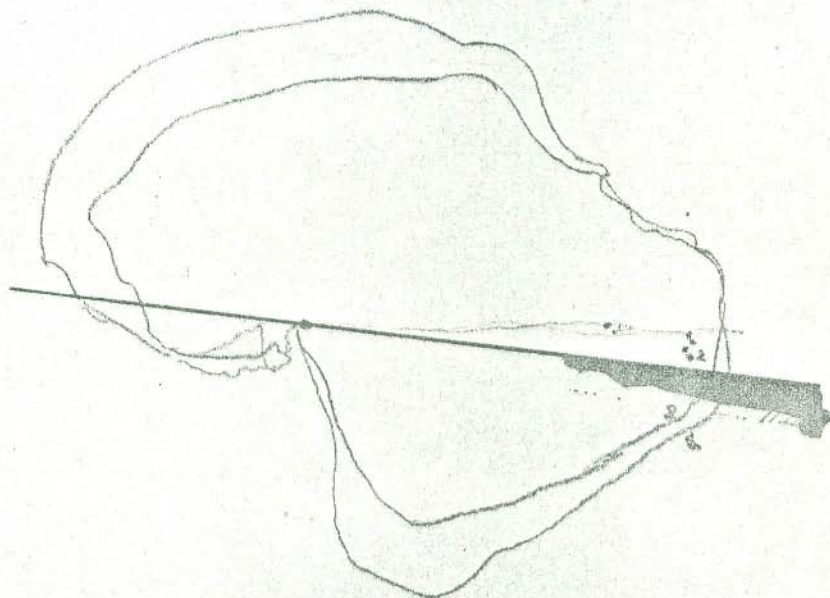
- β neutro. (fij. s.)

- β positivo (fij. s.)

- β negativo (fij. s.)

$\beta < \cdot$ (fij. s.)

$\beta > \cdot$ (fij. s.)



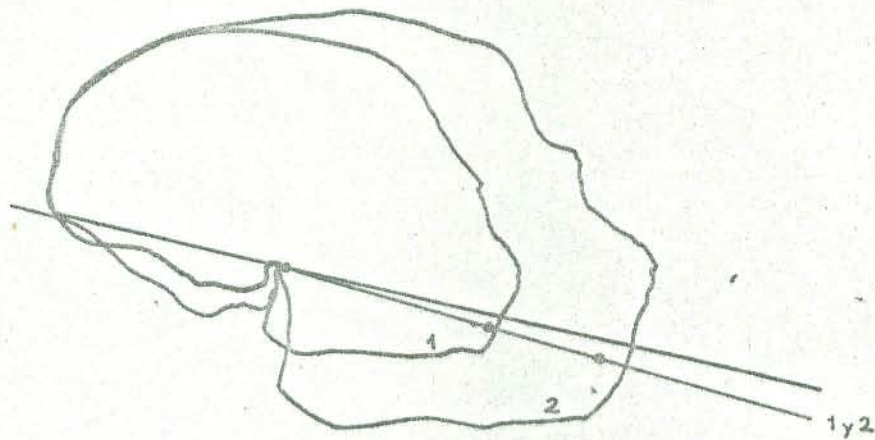


Fig. $\beta+$
 Evolución $\beta+$ en valores $\beta+$ en valores $\beta+$ orientado sobre líneas
 de resistencia molar². Tamaño nat.

- 1 - *Saimiri oerstedii*. $\beta =$ (Eliot, V. J. P. XXXVII)
 2 - *Cebus malitiosus* $\beta =$ (" V. II. P. V)

cuando algunos dentales.

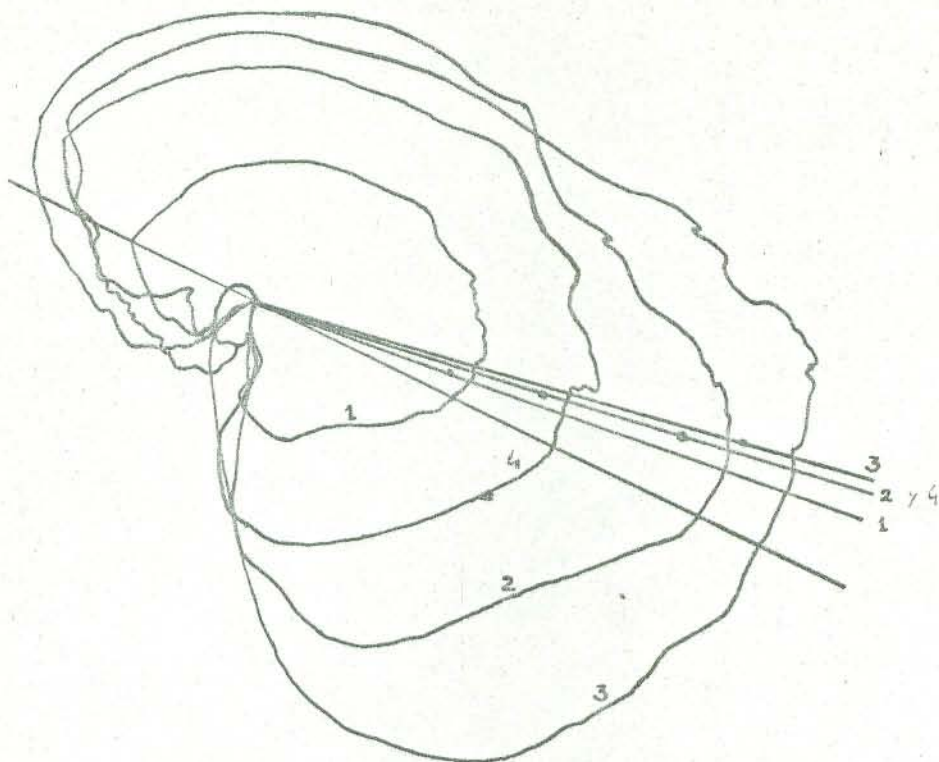


Fig. $\beta \rightarrow 0$.

Evolución de la silueta de un molar americano para valores decrecientes de β . Todas a $\frac{4}{5}$ del tamaño natural, ⁽¹⁾ según línea de resistencia M^2 .

1) - *Clotus niqououina* - $\beta =$

2) - *Bradyletus arachnoides*. $\beta =$

3) - *Alouatta* ~~sp.~~ *beelzebub*. $\beta =$

4) - *Calliobus personatus*. $\beta =$

(Elliott, vol II, P. III)

(Elliott, vol I, P. XXIX)

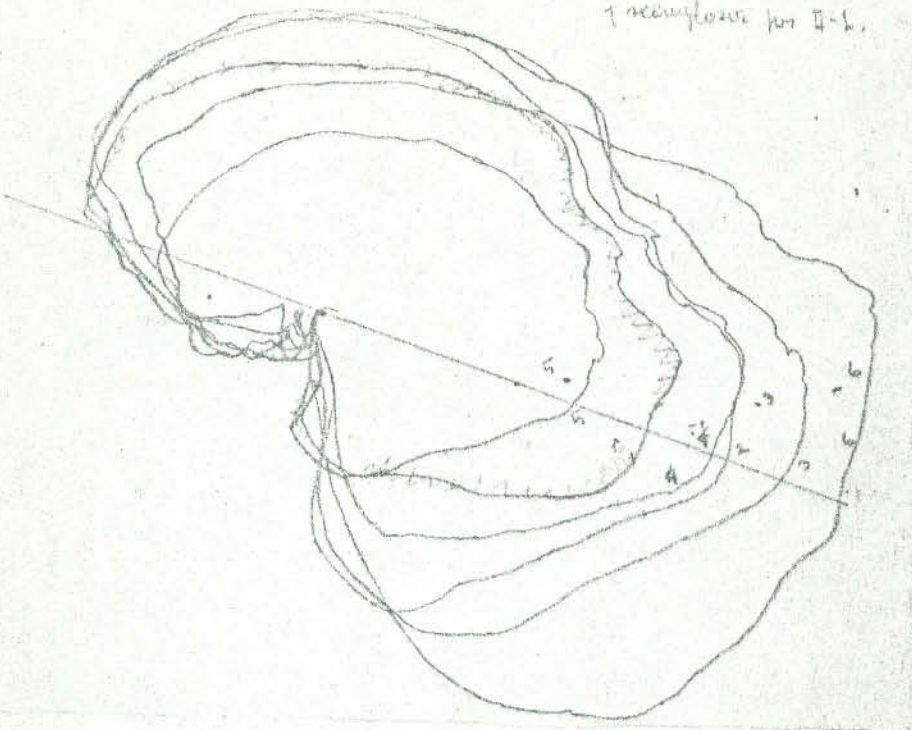
AÑADIR n° y continentis.

Se observa

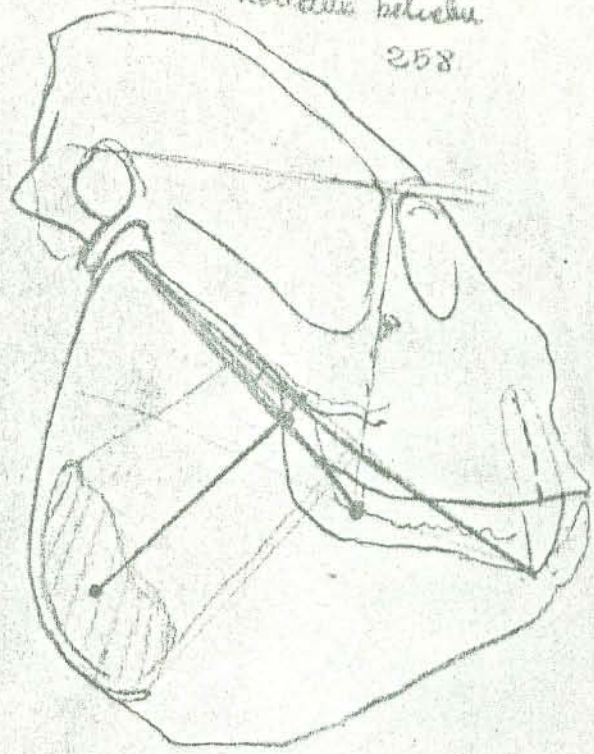
a - Que M^2 no representa la verdadera línea máxima de resistencia mandibular. En 1) y 2) el molar de más superficie es aparentemente M^2 , mientras que en 3), los dos primeros molares superiores son muy superpuestos en tamaño.

(1). Excepto *Calliobus personatus*. (nat)

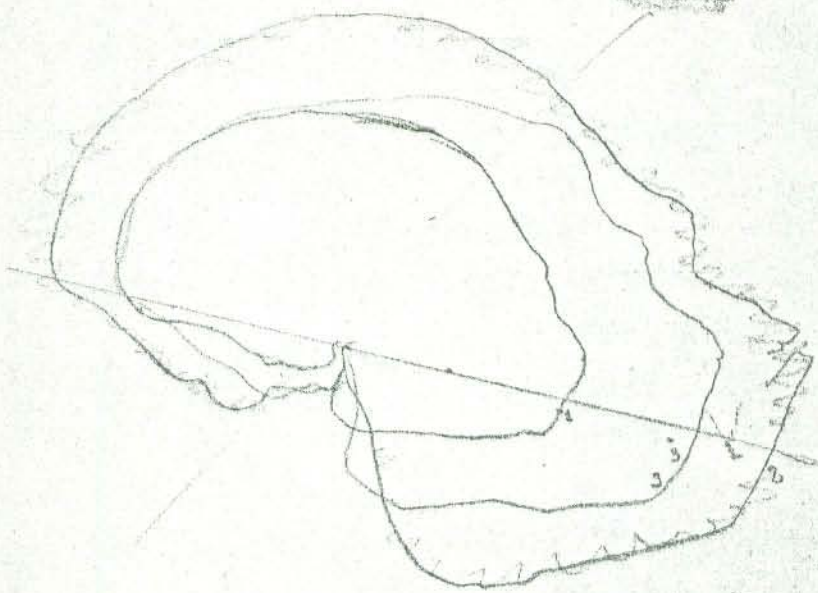
B. $\frac{1}{5}$
 (cabeza de ratón)
 1 neocórtex por II-V.



14 *Alouatta belzebuth*
 258

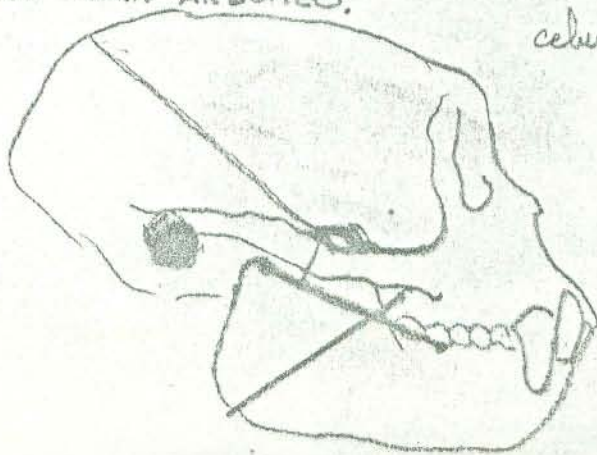


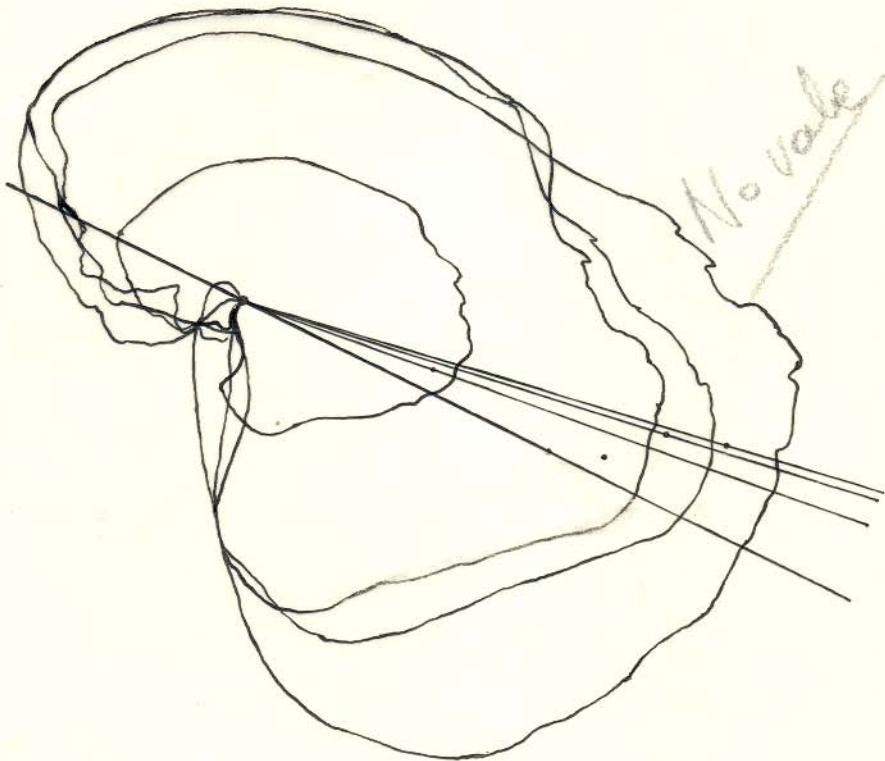
B. pitius. S.D.
 172 - nat.



Criates tipis de Simioides, indiferentes
 ESTADIO SINIA ARBOREO.

celum malitioris. II-V



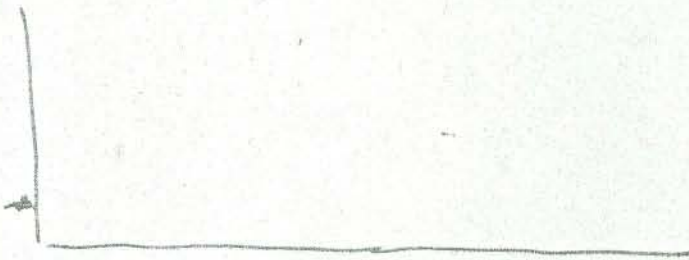


No. 10

Concepto { Eni. - Hombre es
Me. - Su mil, June parte suve
[cient -

Obligaciones de Regula a la diuhal
C. - R. - a Dnis.
E. -

Desarrollo del complejo temporal defensivo en
Lasiopyga ~~Callitroga~~, con el aumento de talla.



KENOGRAMA DE LONG. TOTALES DEL CRANEO.

L. demia. juv. (39)

L. cephus (33)

L. ucuma (35)

L. miditans (32)

L. ponticani (31)

L. denti (36)

L. Kolbe (37)

L. calitridus (34)

L. solonay (38)

Conclusiones - VER VALORES DE β

a - las Lasiopyga ~~basamente~~ se han diferenciado fundamentalmente por su adaptación defensiva más o menos intensa.

b -

IT. Saunderson.

Cynopithecoides

- A - *ceareolus*
 - atenuis*
 - albipennis*
 - triquatus*
 - galeritus*

B - *Macaca*

- 1 *Silenus silenus* — S. de la India.
- 2 *Zati radiata* — India peninsula del E. Comoros al Japon
- 3 " *siccica* — Ceilón
- 4 *Cynomolgus* *urus* — Siam, Indochina, Nicobar, Sumatra, Java, Palawan y Filipinas etc. (p. 126)
- 5 *Rhesus* *mulatta* — Tibetans, Punjab, Kumaon, Kafiristan, Chitral y Kashmir, Yunnan
- 6 " : *anamensis* — ^{Tanquin y China central hasta sep-chiwan.} Burma, Tonkin, Anam, Sikkim, Nepal y Sikkim
- 7 " : *cydopris* — Formosa.
- 8 *Macaca nemertina* — Sumatra, Malasia, Siam, Andaman, Burma
- 9 *lynxos* *speciosa* — Indochina hasta Burma y China central (p. 130)
- 10 " : *fuscata* — Japon (Yakushima, Kioto) Houshu.
- 11 *Maquis* *maurus* — Celebes.
- 12 *Simia* *syriaca* — N. Africa.

C - *Baboons*

- 13 *Cynopithecus* *niger* — Celebes y Molucas
- 14 *Urodillus* *leucophaeus* — N. Comoros
- 15 ~~Ba~~ " *sphinx* — S. Comoros al Congo y Ubangi
- 16 *Papio* ^(papio) *concolor* — S. Afr. Bechuanaland y Rodesia
- 17 " *cyanocephalus* — S. Congo, Niparaland y Tanganyica
- 18 " *doqware* — E. de Abisinia y S. de Congo y Tanganyica
- 19 " *papio* — E. de Senegal
- 20 *Cynopithecus* *haucadriada* — Abisinia, E. de India y S. Arabia
- 21 *Theropithecus* *gelada* — Abisinia

Colobus - Extinto de las peninsulas de ~~Banda~~ Pithecoidea de O. Hill.

Orthognathus - Colobus (laqueus) - Colobus varices arias y hania ofuera - Nasir
puede en hano, Nasir, Platipithecus, Sinning y Colobus, Synanthropus y Antares.
- "hual - nasir" tienen pequeños esrotos - Cere pequeña, austerda, y en algunos
Orthognathus, nicho asi que en el hualde
- Estomago con 3 partes (p. 43 ver)

Saunderi, COLOBOIDES

A - *cf. quercus* Vel E. Schwarz (1927, 1929) y Osborn Hill

- Procolobus verus* —
- Colobus badius* (quercus) —
- " *tholloni* —
- " *subpunctatus* —
- " *polykomos* (quercus) —
- " *augoleucus* —
- " *satanus* —
- " *abyssiuius* —

B - *Lampures*

- Geniopythecus antellus*
- " *pinnae* — ~~India~~ India y Ceylon
- " *schistaceus* — Malaya — *quercus*, *happu* a *trino*, *pinifera*.
- " *hypoleucus* — India central

Kasi *johni* — *cf. batesi occidentalis* ~ 2 spec. } *Nilii* *lipens* que *lanquines* ↑

" *vetulus* — Ceylon

- Trachypithecus pileatus* — Assam
- " *shrayei* — Siam etc.
- " *elliotti* — "
- " *shanicus* — Siam
- " *barbei* — Belgau y N. Assam.
- " *obscurus* — Malaya
- " *prasinus* — *Taricus cristatus* — Siam, Malaya, Sumatra, Borneo.
- " *laotus* — Laos — *pyrrhus* — Java, Bali
- " *delacourii* — *suavis* *Potenziani* — Mentawai Idas, (Sumatra)
- " *poliocephalus* — Taiwan
- " *femorialis* — Malaya, Sumatra, Borneo etc etc.
- " *speciosus* *pures*
- " *remusatii* y *nigripes* — Indochina y Cochinchina

Presbytis e ~~quercus~~ *Pygathrix*
Cenopithecus ou *ouie*.

C - *Nasiques*.

- Presbytis arunculus* — Taiwan. — *Pseudo* a ↓
- Simias concolor* — J. Sebeut y Paypi (W. Sumatra) — *Paticatus* etc. (196)
- Rhinopithecus hieti* — Yunnan, *silvius* *in cambays*.
- " *breidli* — China central
- " *noxella* *uae* — Burma, Yunnan, Tibet, India — *Tenites*, *montanus* *in siam*.
- Nasalis lanuatus* — Borneo. *Polipops pures*. 30 pulgros. ♂

Elliott

Runde

- Colobus veus III, L. XIV → C. veus
- C. Tephrosceles " XV → C. kaduis.
- C. viki XVI → C. kaduis.
- C. satanas XVII → C. satanas
- C. polykomus XVIII → C. polykomus.
- C. caudatus XIX → C. polykomus.

- L. caeliticus XXXIV (333) → Ceropterus aethiops.
- ~~Lalbjha~~ moua XXXV (350) → moua
- II - Lasiopyga denti XXXVI (361) → moua

- L. nictitans XXXII (318) → nictitans
- L. janticensis XXXI (300) → nictitans
- L. solbi XXXVII (361) → leucampyx
- L. diane XXXVIII (380) ^{immot} → diane
- L. avelonway XXXIX (381) → diane
- L. cephus XXXIII (319) → neglectus
- L. cephus XXXIII (319) → cephus

- Rhinostipura hamlyni XXX (275) → l'hoerti
- Rhinostipura hamlyni XXX (275) → hamlyni
- Rhinostipura hamlyni XXX (275) → nigronididis.

- C. turquatus XXVII (259) → Cerocebus aethiops
- C. ateniurus. XXVIII (270) → Turquatus
- C. ateniurus. XXVIII (270) → ateniurus
- C. ateniurus. XXVIII (270) → chrysogaster
- C. ateniurus. XXVIII (270) → galentis.
- C. ateniurus. XXVIII (270) → albigena.

- M. talapoin III - L. I → Miospilheues talapoin
- E. albigena III. L. II → Erythrebus patis } patis?
- E. albigena III. L. II → Erythrebus patis } pyralisautis

- 510 *Pithecus brevicaudus* - II-216 (Linn. XXIII)
- Cynopithecus niger* - II-162 Linn XVIII
- Pithecus nemotricus* - II-205 Linn XXII
- 750 *Papio brockmani* - II-Linn. XII
- 1069 *Papio nigeriae* - II-165 (Linn. VI)
- Papio sphinx* - II-169, Linn. XIII

Estas son las especies incluidas en el dibujo de Frey para ilustrar el crecimiento ortopuntico de los cuernos con la edad. Para conseguir los valores aproximados de este crecimiento, vamos a tomarlos solo de las ^{hipopithecus} ~~hipopithecus~~ de Hellist (1912), puesto que no dispongo de cráneos para medidos directos, que además están en tamaño natural.

Los medidos son los siguientes (expresando decimales). Medido el cuerno en largo.

- a - Del condilo al extremo anterior de la base del cuerno superior. (A-B en la fig)
- b - De la base a la punta del cuerno superior.
- c - De la base a la punta del cuerno inferior.

	A	B	C
<i>Pith. brevicaudus</i>	55 58'7	47 21'2	13 (4/5) 16'2
<i>Cynop. niger</i>	54 80	20 25	46 (4/5) 80
<i>Pithe nemotricus</i>	79 58'7	30 37'5	20 (4/5) 25
(1) <i>Papio brockmani</i>	88 117'3	22 29'3	16 (20) (3/4) 21'3 - 26'6
<i>P. nigeriae</i>	118 157'3	25 33'3	19 (3/4) 25'3
<i>P. sphinx</i>	124 165'3	40 53'3	27 (3/4) 36

80-100 5504 80

55-x 070 58'7

60

40

170 18

10 21'2

20

2

130 9

50 16'2

20

640 18

00 80

200 18

40 25

0

160 18

00 20

29'3

26'6

45'9

790 19

70 98'7

60

4

300 8

60 37'5

40

200 8

40 25

0

16 16

4 4

64 13

04 21'3

10

80 13

20 26'6

20

27'3

16'2

37'5 12

17 18'7

15

118

4

472 13

17 157'3

22

10

25

4

100 13

10 33'3

0

19

4

76 13

16 25'3

10

0

124

4

496 13

19 165'3

16

10

160 13

10 53'3

25'3

32'3

58'6

108 13

18 36

0

53'3

36

89'3

(1) Hellist no se medidos cuerno, pub. in ses. in maturo

Como datos complementarios y seleccionando menos típicamente tempestades solo, del mismo trabajo (Hellert 1912) seleccionamos aquellos esp de los que se despiden de unives de 07 adultos una fuertes columnas.

	A	B	C	B+C
900 <i>Papio cynocephalus</i> (Linn IX) 3/4	112 $\boxed{149'3}$	41 $\boxed{54'6}$	32 $\boxed{42'6}$	$S = 97'2$
825 <i>Papio hamadryas</i> (Linn XI) 3/4	86 $\boxed{114'6}$	23 $\boxed{39}$	15 $\boxed{20}$	$S = 54$
826 <i>Pithecus thibetanus</i> (L. XXI) 4/5	86 $\boxed{114'6}$	31 $\boxed{41'3}$	224 $\boxed{32}$	$S = 73'3$
530 <i>Pithecus albirostratus</i> (L. XXIV) 4/5	80 $\boxed{100}$	23 $\boxed{28'7}$	17 $\boxed{21'2}$	$S = 49'9$
460 <i>Pithecus sinicus</i> (L. XXV) 4/5	51 $\boxed{63'7}$	15 $\boxed{18'7}$	13 $\boxed{16'2}$	$S = 34'9$
700 " <i>fuscicollis</i> (L. XXVI) 4/5	54 $\boxed{67'5}$	20 $\boxed{25}$	12 $\boxed{15}$	$S = 40$
456 " <i>hinsuensis</i> (L. XXVII) 4/5	54 $\boxed{67'5}$	15 $\boxed{18'7}$	12 $\boxed{15}$	$S = 33'7$
		20 $\boxed{25}$	11 $\boxed{13'7}$	$S = 38'7$

730
 220
 510
 925
 99
 826
 425
 325
 500
 1322
 572
 250
 167'8
 1470
 570
 0900
 910
 380
 530

90-100
 84-x
 200
 340
 460
 510
 30
 60
 3-4
 86-2
 86
 4
 344
 04
 14
 20
 86
 4
 344
 04
 14
 20

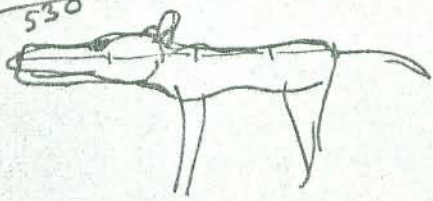
540 (8)
 60 67'5
 40
 8
 60
 63'7
 8
 150
 70 18'7
 60
 86
 4
 344
 04
 14
 20
 23
 4
 92
 12
 34

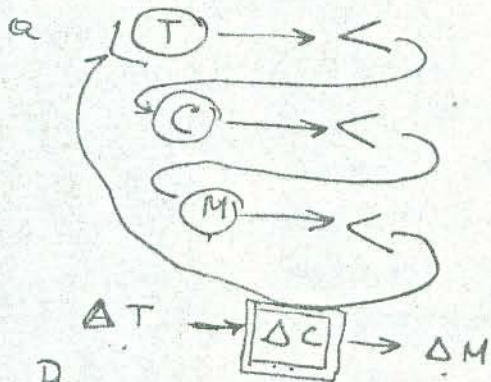
200 (8)
 40 25
 0
 8
 150
 70 18'7
 60
 800 (8)
 100
 31
 4
 124
 04
 10
 60 (3)
 20
 112
 4
 498 (3)
 14
 28
 10

110 (8)
 30 18'7
 60
 4
 8
 120
 40
 15
 50 16'2
 20
 230 (8)
 70 28'7
 60
 96 (3)
 06 32
 164 (3)
 14
 20

5 25
 13'7
 38'7
 8
 130 (8)
 50 16'2
 20
 170 (8)
 10 21'2
 20
 32
 41'3
 73'3
 164 (3)
 14
 20

540 (8)
 60 67'5
 4
 12
 510 (8)
 30 63'7
 60
 21'2
 28'7
 49'9
 5
 128 (3)
 08 42'6
 2054'6
 97'2





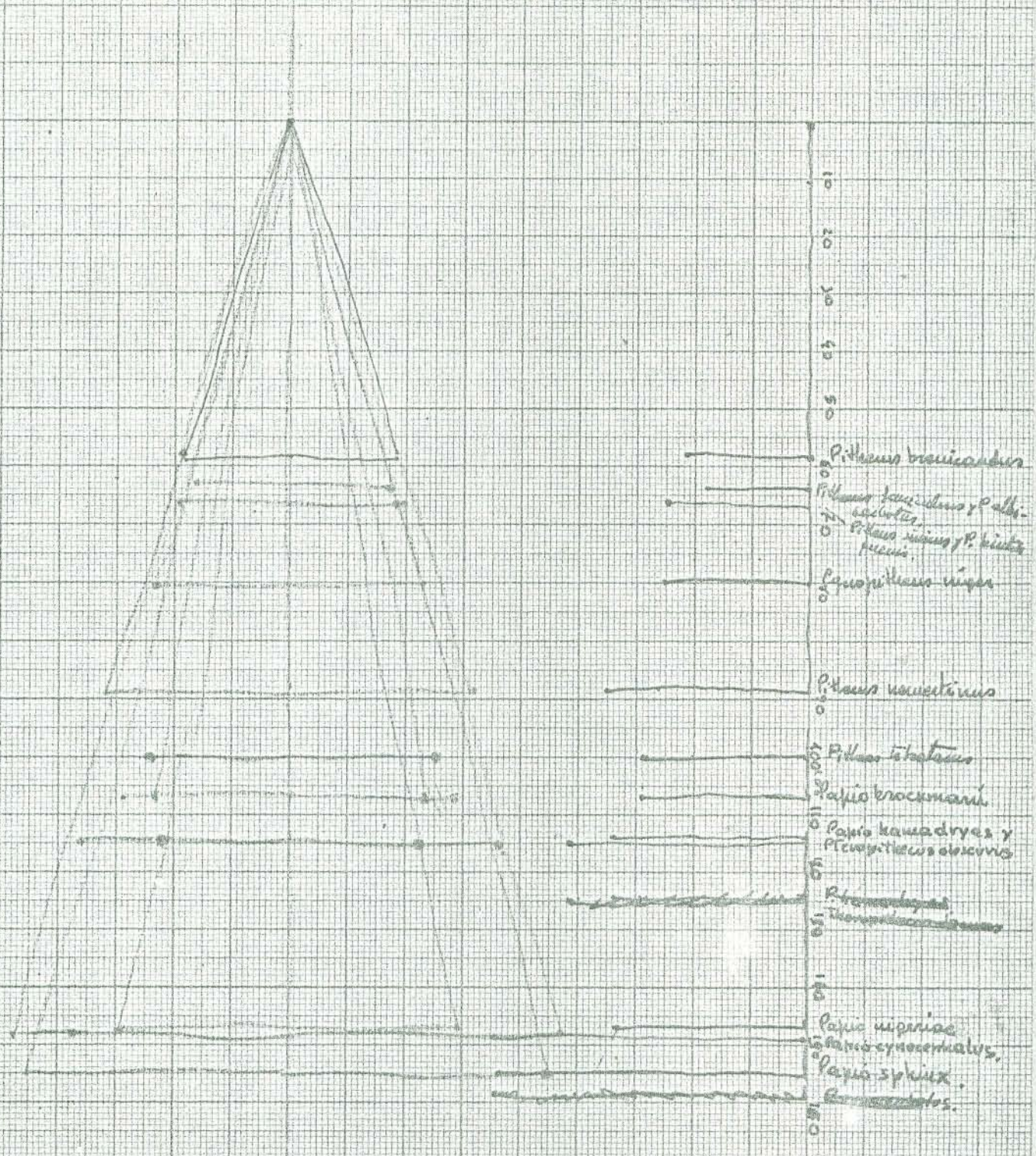
D.

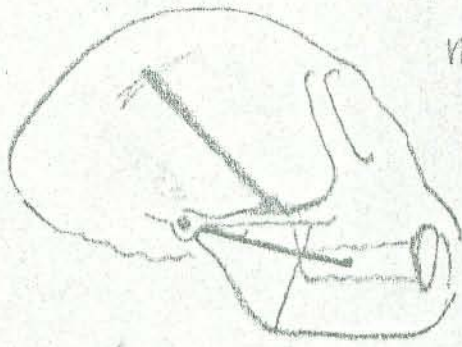
Tenentes —

Calculus —

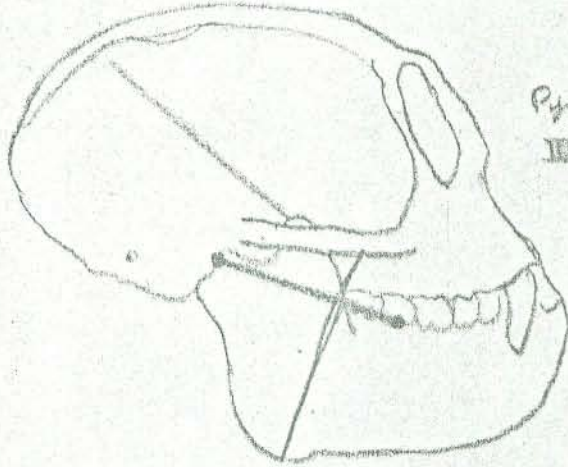
Cenoptus	—
Gibber	—
Origo	—
Pass	—
Yulle	—

Cenoptus - Colobus.

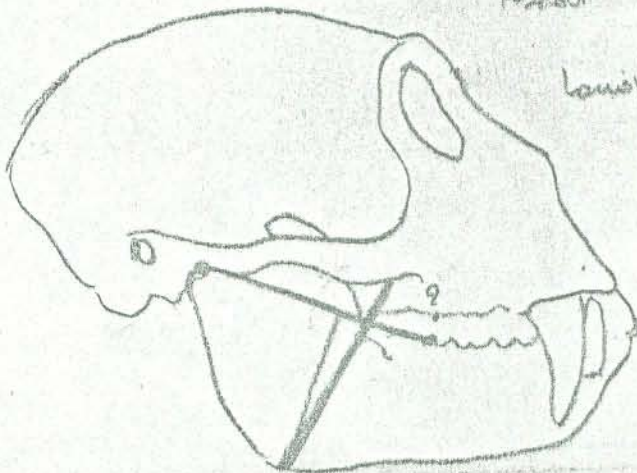




Miopithecus *Tabajon.*
III - I.



Pyrpatia (~~*tabajon*~~) *metamorphus*
III - II



Propithecus

laniops *fontensis*, II - XXXI,

c - El mismo principio ha impedido probablemente la diferenciación del género Theropithecus de parte de los Papio (aunque aquí la existencia de caninos defensivos ha impedido el avance de la "hominización") como puede verse en un estudio mecánico del cráneo. Véase a comparemos Papio sphaerix y Theropithecus gelada obscurus bajo este punto de vista, como ejemplos sobre fijos (Elliot, ^{1912,} ~~1911~~ vol II, lám XIII y XIV) y por tanto en páginas citadas.

- a - P. sphaerix - molar inferior mayor M ^{Complejo uniterico.} ~~dentario~~ Base de Resistencia mm. Base de potencia (operculado) mm. Valor triturante.
- Complejo temporal - Base resistencia (a punto del canino) mm. B. potencia mm. Valor triturante.
- b - Th. gelada - molar inf mayor M. ~~Base~~
- Complejo uniterico - Base de Resistencia mm. Base de Potencia mm. Valor ~~de~~ triturante
- Complejo temporal. Base de Resistencia mm. Base de potencia mm. Valor ~~de~~ triturante

Esta diferencia es pues de a en valor triturante y de a en valor ~~de~~ triturante. Esto refleja una diferencia nutricional entre ambos ejemplares, que ha sido como sin duda de las modificaciones siguientes

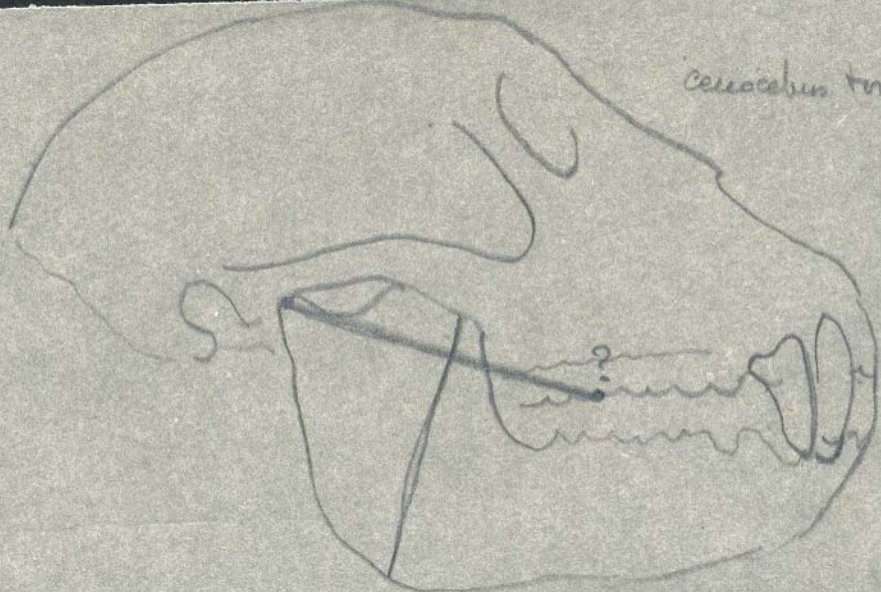
Complejo triturante. - En Th. gelada una cresta ósea descendiendo desde la base del Xa molar hasta las orbitas. Los huesos superiores se hacen curvos y muy potentes. Los huesos inferiores ~~del canino~~ de ~~terceros~~ de los huesos del cráneo. La mandíbula se dobla en potencia angular haciendo la separación de la inserción uniterica. El arco cigomático avanza. En P. sphaerix ~~de este punto~~, la ~~base de~~ ~~base~~ ~~de~~ ~~base~~, y el

Complejo triturante - E

Modificaciones mandibulares haciendo la ~~inserción~~ potencia mandibular Myproicebus simus. (I. lám XVII, p. 124)



Cercopithecus torquatus II. 5XVIII



ASP 49

Edliet,

- Hyalobates variegatus* - 2520
- " *uvolock* - 520
- " *lau.*
- " *neurici* - 990, (Pub. *H. lau.*)
- " *leucogenys* - 448'8
- H. galicelli* - Total 560 (Pub. *H. leucogenys*)
- H. leuciscus*
- H. agilis*
- H. pileatus* - 440
- H. concolor*
- H. fumescens*
- H. fuscus.*
- S. squadractylus* - 846
- S. Kloni* - 440-525.

El tipo Pongidae se caracteriza ecológicamente por su adaptación a la vida arbórea, a las alimentaciones folio-frugívora, y a las necesidades de defenderse.

Biología

Alimentación

Defensa.

<ul style="list-style-type: none"> - Alargamiento del miembro superior. - Aumento de la movilidad de los miembros. - Tendencia a la reducción del pulgar aunque este se ha vuelto notablemente oponible. - Pie prensil. 	<ul style="list-style-type: none"> - Pérdida de la PP. - Hipertrofia de incisivos y por tanto "placa simia". - Diastema. - PM₂ con una sola cuspe. - Creasurios o ridulos molares. 	<ul style="list-style-type: none"> - Caninos grandes y un diminuto sexual.
---	--	---

M₁ de leche con dibujo relativamente simple.

Robert Hartman - 1904 - Anthropoid Apes - Kegan Paul,
Trench, Trubner & Co. Ltd - London.

Spr. estida - mano (p. 103)

Gruille - chrysopygus - Orange - Stem -

Hylakole, syndactylus. F. Currier (p. 45) - El wayo.

H. Loz idley, - maui edella

H. albinanus Vigors, Horsfield (ditto de mano (p. 49) maui (p. 50).

H. aples, F. Currier (p. 50).

H. leuciscus Kuhl. -

H. Hoolock Horsford -

H. roffesi Geoff. S. Hilary

H. entelloides, " "

H. beaucampi Ogilby -

H. pileatus S. E. Gray -

H. pumilus S. Geoff. S. Hilary

H. concolor Horsford

H. muelleri (S. Martin)

H. doromandus Ogilby

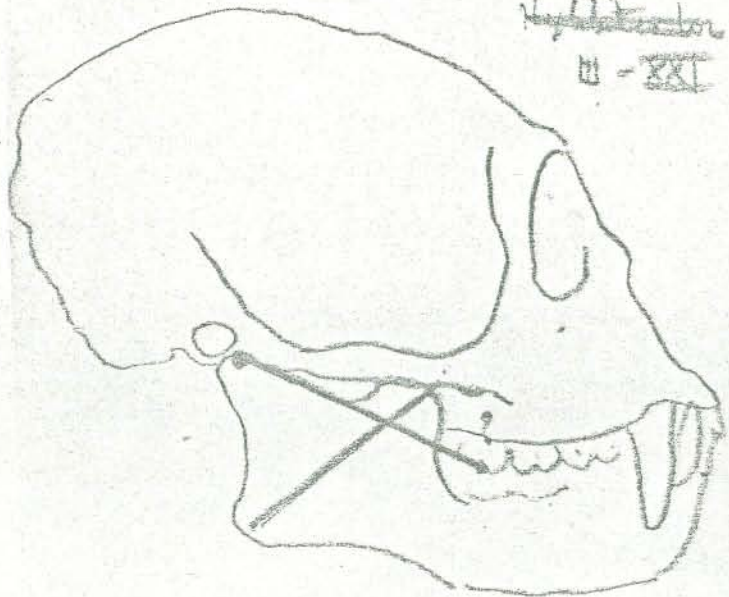
Gustav Braudes. 1939 - Boschi, vom Orang-säugling zum
Bachenwölfer. - Verlagsbuchhandlung Quelle & Meyer
in Leipzig -

Excellentes & numerosissimas (cientos?) fotografías del desarrollo
de Boschi, y de numerosos adultos. Prob. como por
costumbres etc. en continuación. —

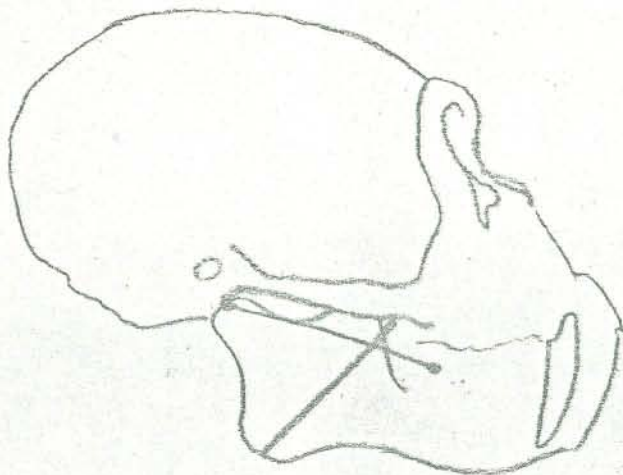
Synphalangia viskocytis

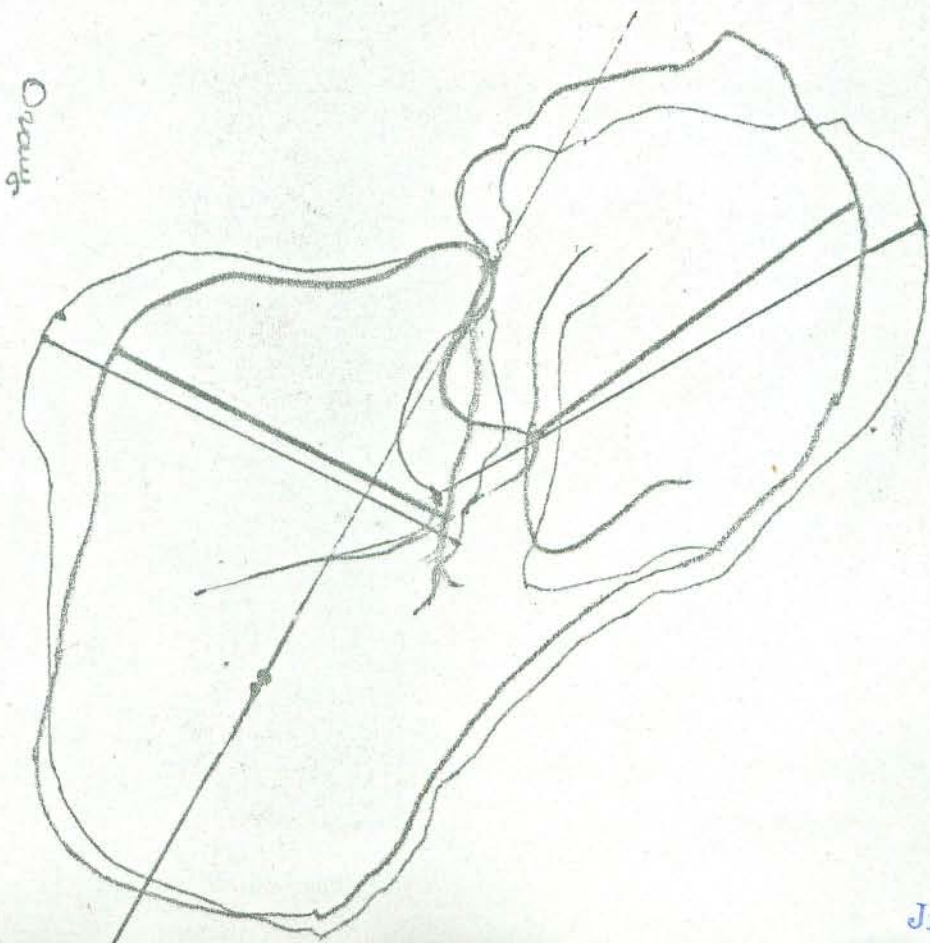
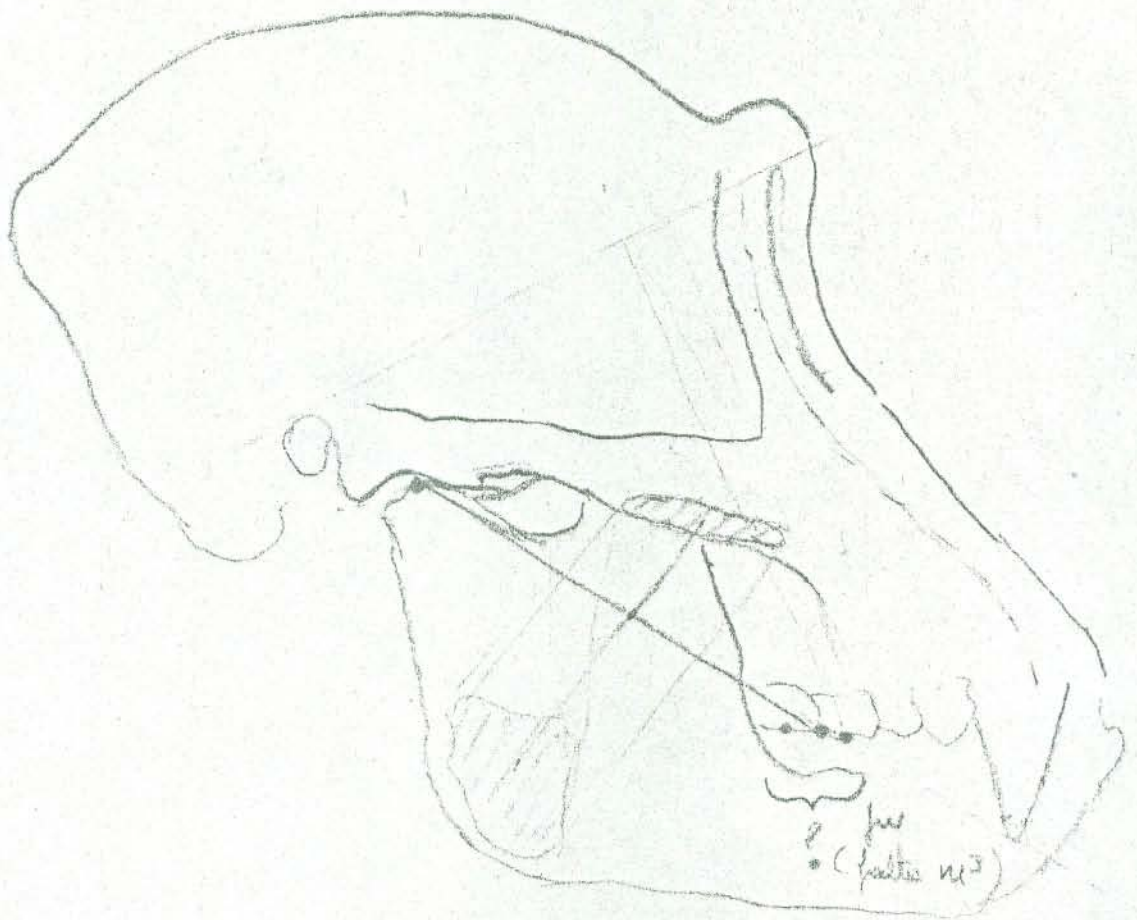
~~Hypelates~~

III - XXI



Hypelates sp. III - XX

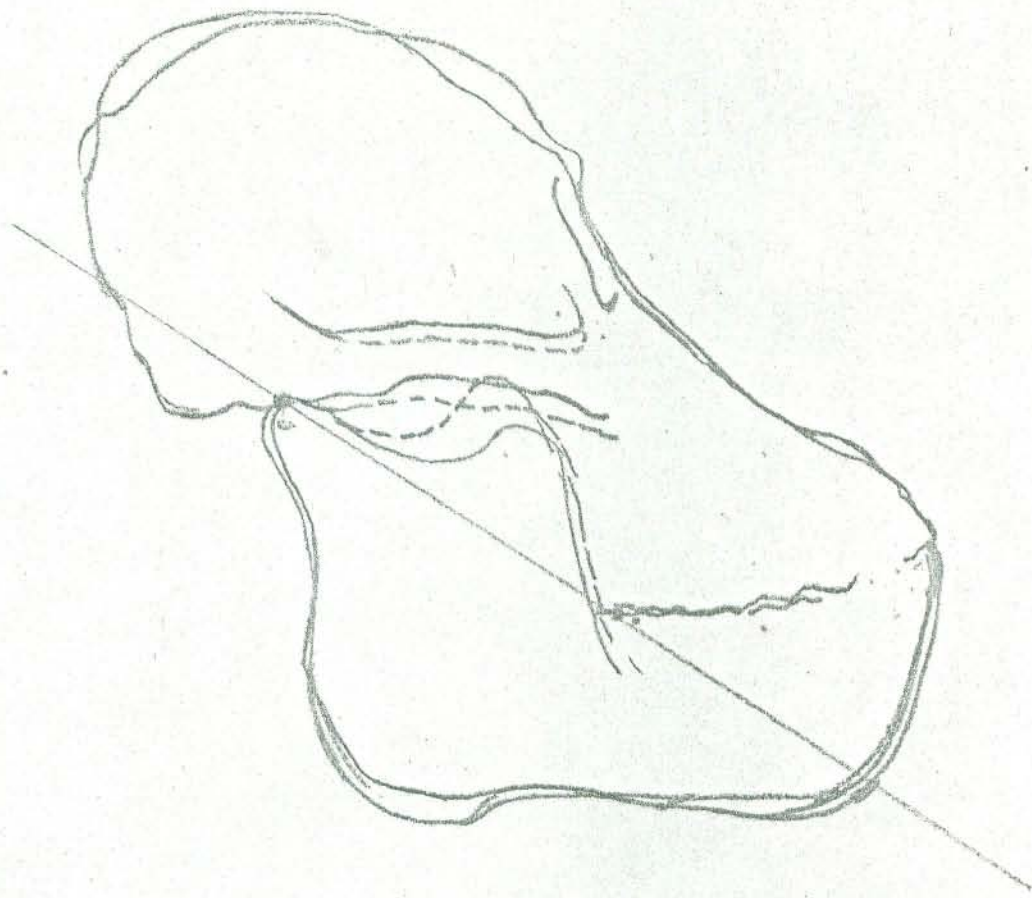




Orange

Nos 6 + 151 de Elliot.

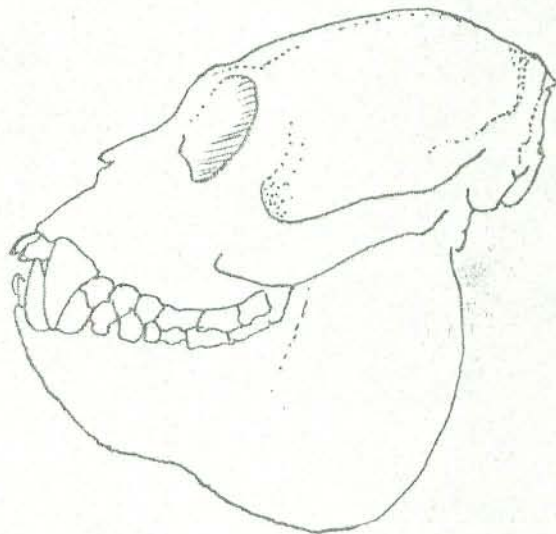
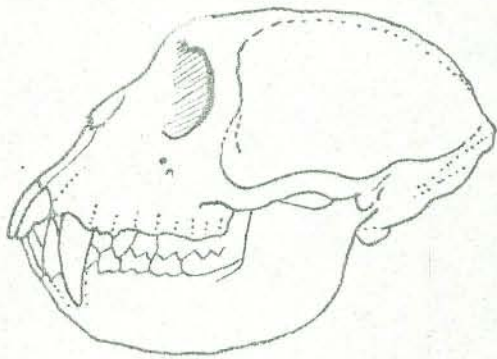
Always - center corner of M1 (no M3).



151 ♂ w.
6.

Caninus, oblicuo, los más oblicuos del grupo.
fuso orbicular.

Micromys aculeatus ♂ ad.
(de W. Sullivan, en Gannet).



Micromys aculeatus - p. 1811 de. - los seducen cercanos, reproducción mejor y aplanamiento
de los incisivos molares, caninos fúrpuros. Caninos grandes y oblicuos, - gran
reducción de la dentadura. - (Ev. p. 1829 también).

Micromys aculeatus - - *Tuomia nitidulatus* - Roca está en U. dientes fuertes - Molares agudos. - JAV56

No power.
 Adair qui regit le fus Clark.....

Species	Size	Age	Place	Habitat Locomotion
Limnopithecus legetet	As a Gibbon	Lower Miocene	Rusinga Island	Arboricolal Arboricolal cuadruped. No brachiation. Perhaps terrestrial
L. macinnesi	As a Symphalagus	id.	Kenya	Id.
Proconsul Proconsul (3 especies)	From Gibbons to Gorilla	id.	Rusinga Island	Cuadrupede, non brachiation. Terrestrial
Pliopithecus (4 especies)	As Gibbons	¹ Vindobonien	Europe	?
Dryopithecus (3 especies)	As Chimpanzees ?	Middel Miocene	Europe	Arboricolal, cuadrupede.
Sivapithecus (3 especies)	From Chimpanzee to Gorilla	Sarmatien Miocene	Asia	?
Bramapithecus Sugrivapithecus Ramapithecus	Greats	Miocene	Asia	?

Table - The fossil Pongidae knowns

1 - Va era.

Parapithecus p 144. Siveteau.

- Defunción. - se caracterizan por la prognación. (p. 144)
 - alargamiento del maxilar superior...
 - aumento notable de la utilidad de los molares.
 - Tendencia a la reducción del pulgar, aunque esta se los veía unido a los otros
 - Pie prensil.
- Higiéne de incisivos y pre tanto fura sinia (p. 145)
- canin puros y un diminuto molar.
- Diastema
- Pm₁ con una sola cúspide
- M₁ de leche con dibujo relativamente simple.

- Parapithecus - especie no es ni especie finta. (167)

Propithecus - Primate acortado en diámetro Parapithecidae. - Tanto propithecus q' h'm.

Propithecus - Primate acortado en diámetro Parapithecidae. - Tanto propithecus q' h'm.

L. macinnesi le fue Clark y Leakey. [dicentes propithecus. pp. 108 p. 173].
Por molares se deduce que no prognación, pero convergencia con Ateles. Es semi-circunverso (s.l.). Autoridad cuadrupedo que audolva como los cíonuros. (176), pero lo fue Eloba, pero una Mlle Fereuloch, putificio prognación y fue bipedo en tierra. Pertenece al "estadio estructural de los cíonuros" en la convergencia de cíonuros y antropuros. (177).

Prensil. - "Ciertas especies curran a los cíonuros; des. superior un acortado a los pullos"
[Los huesos de molares parecen de cíonuros p. 183-84]. lo Cs. Clark, aunque no putificio prognación y que se desplumben como los cíonuros.

Cíonuros y antropuros. - p. 166-168.

La separación es muy antigua. - Limnopithecus y cíonuros se acercan por convergencia adaptativa, pero fue L.G. Clark y Mlle Fereuloch, limnopithecus es una unión entre cíonuros y antropuros. - Henselber dice que la separación es muy antigua. - Se intenta unir a los cíonuros modernos con los Parapithecus antiguos.

Parapithecus Mioceno. Buda-polonia. aparecen en Europa Propithecus y Dryopithecus.

Pliopithecus

Rüttimeyer afirma que la dentición de leche reduce los caracteres más permanentes de la fura ancestral. Y aquí, esta muy molariizada, aunque la dentición permanente en Parapithecidae. [los parapithecus descendían de seres muy molariizados, q'lo p'vivores] p. 192.

VER DENTICIONES LECHE.

[No parece, el tipo ancestral que los dados lejan a las raíces de leche molariizadas. ~~Es~~ Solo a fura especializadas, que prob. ocupan biomas. Es que falta es el predominio de la fura sticta]

